

(19) 日本国特許庁(JP)

(12) 公開特許公報(A)

(11) 特許出願公開番号

特開2017-46430

(P2017-46430A)

(43) 公開日 平成29年3月2日(2017.3.2)

(51) Int.Cl.	F I	テーマコード (参考)
HO2P 21/00 (2016.01)	HO2P 5/408 C	5H505
HO2P 27/04 (2016.01)	HO2P 6/02 371S	5H560
HO2P 6/18 (2016.01)		

審査請求 未請求 請求項の数 10 O L (全 37 頁)

(21) 出願番号 特願2015-166306 (P2015-166306)  
 (22) 出願日 平成27年8月26日 (2015.8.26)

(71) 出願人 515294031  
 ジョンソンコントロールズ ヒタチ エア  
 コンディショニング テクノロジー (ホ  
 ンコン) リミテッド  
 ホンコン、ケーエルエヌ カオルーンベ  
 イ 8ラムチャックストリート オクタタワ  
 ー 12/エフ  
 (74) 代理人 110001807  
 特許業務法人磯野国際特許商標事務所  
 (72) 発明者 鈴木 尚礼  
 東京都千代田区丸の内一丁目6番6号 株  
 式会社日立製作所内  
 (72) 発明者 田村 建司  
 東京都港区海岸一丁目16番1号 日立ア  
 プライアンス株式会社内

最終頁に続く

(54) 【発明の名称】 モータ制御装置、流体機械、空気調和機およびプログラム

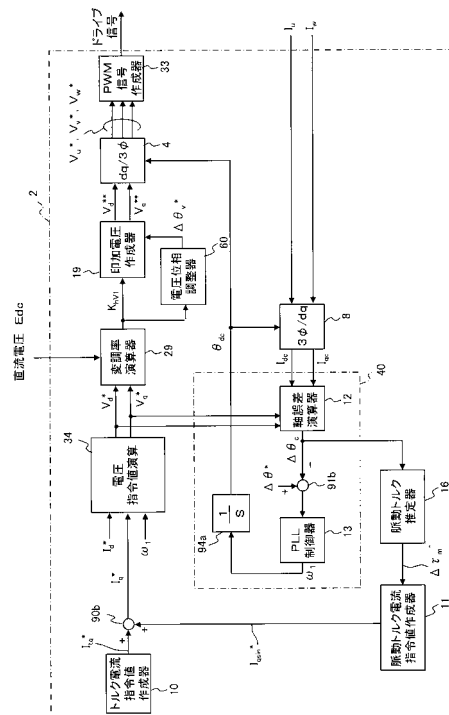
(57) 【要約】

【課題】 モータの振動や騒音を抑制する。

【解決手段】

直流電圧を交流電圧に変換し出力することにより、負荷トルクが周期的に変動する負荷装置に結合される電動機を駆動する電力変換回路と、前記電力変換回路を駆動するドライブ信号を出力する制御部(2)と、を有し、前記制御部(2)は、前記負荷トルクに応じた周期で増減する負荷トルク対応パラメータ(電圧変調率 $K_{hv1}$ )を演算し、前記負荷トルク対応パラメータのピーク値が所定の第1の閾値を超えると、前記電動機の回転により発生する誘起電圧を抑制する弱め磁束状態で前記電力変換回路を駆動するようにした。

【選択図】 図1



## 【特許請求の範囲】

## 【請求項 1】

直流電圧を交流電圧に変換し出力することにより、負荷トルクが周期的に変動する負荷装置に結合される電動機を駆動する電力変換回路と、

前記電力変換回路を駆動するドライブ信号を出力する制御部と、

を有し、前記制御部は、

前記負荷トルクに対応する周期で増減する負荷トルク対応パラメータを演算する機能と

、  
前記負荷トルク対応パラメータのピーク値が所定の第 1 の閾値を超えると、前記電動機の回転により発生する誘起電圧を抑制する弱め磁束状態で前記電力変換回路を駆動する機能と

10

を有することを特徴とするモータ制御装置。

## 【請求項 2】

前記制御部は、前記弱め磁束状態で前記電力変換回路を駆動している際に前記ピーク値が前記第 1 の閾値よりも低い第 2 の閾値未満になると、前記誘起電圧を抑制しない通常状態で前記電力変換回路を駆動する

ことを特徴とする請求項 1 に記載のモータ制御装置。

## 【請求項 3】

前記負荷トルク対応パラメータは、前記交流電圧を指令する電圧指令値の振幅と前記直流電圧との比である電圧変調率であり、

20

前記制御部は、前記電圧変調率のピーク値が前記第 1 の閾値以下になるように、前記電圧指令値の位相を制御する

ことを特徴とする請求項 1 に記載のモータ制御装置。

## 【請求項 4】

前記制御部は、前記電圧変調率のピーク値が前記第 1 の閾値以下になるように前記電圧指令値の位相を制御する際に、前記電圧変調率の平均値を減少させる

ことを特徴とする請求項 3 に記載のモータ制御装置。

## 【請求項 5】

前記負荷トルクは、前記電動機の機械角一回転の所定値倍の周期で変動する

ことを特徴とする請求項 1 に記載のモータ制御装置。

30

## 【請求項 6】

前記電動機は永久磁石を埋設した回転子と固定子とを有し、

前記制御部は、前記永久磁石の主磁束方向を d 軸とし、前記 d 軸から回転方向に電氣的に 90 度進んだ軸を q 軸とし、前記 q 軸に流れる電流の脈動成分である脈動トルク電流指令値を計算するものであり、

前記負荷トルク対応パラメータは、前記脈動トルク電流指令値である

ことを特徴とする請求項 1 に記載のモータ制御装置。

## 【請求項 7】

前記制御部は、

前記電圧指令値の位相を、前記電動機の機械角一回転の所定値倍の周期で変動させる

40

ことを特徴とする請求項 3 に記載のモータ制御装置。

## 【請求項 8】

負荷トルクが周期的に変動する負荷装置と、

前記負荷装置に結合される電動機と、

直流電圧を交流電圧に変換し出力することにより、前記電動機を駆動する電力変換回路と、

前記電力変換回路を駆動するドライブ信号を出力する制御部と、

前記電動機と前記負荷装置とを収納する収納容器と、

を有し、前記制御部は、

前記負荷トルクに対応する周期で増減する負荷トルク対応パラメータを演算する機能と

50

、  
前記負荷トルク対応パラメータのピーク値が所定の第1の閾値を超えると、前記電動機の回転により発生する誘起電圧を抑制する弱め磁束状態で前記電力変換回路を駆動する機能と

を有することを特徴とする流体機械。

【請求項9】

負荷トルクが周期的に変動する圧縮機構部と、

前記圧縮機構部に結合される電動機と、

直流電圧を交流電圧に変換し出力することにより、前記電動機を駆動する電力変換回路と、

前記電力変換回路を駆動するドライブ信号を出力する制御部と、

前記電動機と前記圧縮機構部とを収納する収納容器と、

前記圧縮機構部に接続された室内熱交換器と、

前記圧縮機構部および前記室内熱交換器に接続された室外熱交換器と、

を有し、前記制御部は、

前記負荷トルクに対応する周期で増減する負荷トルク対応パラメータを演算する機能と

10

、  
前記負荷トルク対応パラメータのピーク値が所定の第1の閾値を超えると、前記電動機の回転により発生する誘起電圧を抑制する弱め磁束状態で前記電力変換回路を駆動する機能と

を有することを特徴とする空気調和機。

【請求項10】

直流電圧を交流電圧に変換し出力することにより、負荷トルクが周期的に変動する負荷装置に結合される電動機を駆動する電力変換回路と、コンピュータを有し前記電力変換回路を駆動するドライブ信号を出力する制御部と、を有するモータ制御装置に適用されるプログラムであって、前記コンピュータを、

前記負荷トルクに応じた周期で増減する負荷トルク対応パラメータを演算する手段、

前記負荷トルク対応パラメータのピーク値が所定の第1の閾値を超えると、前記電動機の回転により発生する誘起電圧を抑制する弱め磁束状態で前記電力変換回路を駆動する手段、

として機能させるためのプログラム。

【発明の詳細な説明】

【技術分野】

【0001】

本発明は、モータ制御装置、流体機械、空気調和機およびプログラムに関する。

【背景技術】

【0002】

モータ制御装置の背景技術として、下記特許文献1の要約書には、「交流電源1からの交流電圧を整流し、任意の目標直流電圧となるように、直流電圧へ変換するコンバータ2と、電動機4を概正弦波状または概台形波状の電流にて駆動するインバータ5を備え、インバータ5の変調率に応じて、コンバータ2の目標電圧およびインバータ5の電流位相を予め記憶された補正パターンに基づいて補正することで、適切な直流電圧および電流位相で電動機を駆動することにより、トータル効率を高めることができる」と記載されている。

30

40

【先行技術文献】

【特許文献】

【0003】

【特許文献1】特開2006-204050号公報

【発明の概要】

【発明が解決しようとする課題】

50

## 【0004】

直流電圧を交流電圧に変換するインバータによってモータを駆動する際、回転速度を高めるためには、モータに印加する交流電圧を上昇させる必要が生じる。ここで、交流電圧を限界付近まで高めた後、さらに回転速度を高めるためには、特許文献1に示されているように「弱め磁束制御（弱め界磁制御）」が適用される。これは、電流位相を進め、モータ内の磁束を弱めることによって誘起電圧を抑える制御である。

## 【0005】

しかし、「弱め磁束制御」を適用すると、より大きな電流がモータに流れ、効率が悪くなるという問題が生じる。従って、弱め磁束制御は、それを適用しなければ実現できない回転速度に対してのみ適用し、弱め磁束制御を適用しなくても実現できる回転速度に対しては、適用しないことが通常である。

10

## 【0006】

また、モータに結合される負荷によって生じる負荷トルクが脈動すると、モータに振動、騒音が生じる原因になる。振動、騒音を低減するためには、負荷トルクの増減に追従してモータ発生トルクを増減させるとよい。しかし、モータに印加する交流電圧に制約があると、モータ発生トルクが負荷トルクに追従できなくなり、振動、騒音が大きくなることがある。

本発明は、上述した事情に鑑みてなされたものであり、モータの振動や騒音を抑制できるモータ制御装置、流体機械、空気調和機およびプログラムを提供することを目的とする。

20

## 【課題を解決するための手段】

## 【0007】

上記課題を解決するため、本発明のモータ制御装置は、直流電圧を交流電圧に変換し出力することにより、負荷トルクが周期的に変動する負荷装置に結合される電動機を駆動する電力変換回路と、前記電力変換回路を駆動するドライブ信号を出力する制御部と、を有し、前記制御部は、前記負荷トルクに応じた周期で増減する負荷トルク対応パラメータを演算する機能と、前記負荷トルク対応パラメータのピーク値が所定の第1の閾値を超えると、前記電動機の回転により発生する誘起電圧を抑制する弱め磁束状態で前記電力変換回路を駆動する機能と、を有することを特徴とする。

## 【発明の効果】

30

## 【0008】

本発明のモータ制御装置、流体機械、空気調和機およびプログラムによれば、モータの振動や騒音を抑制できる。

## 【図面の簡単な説明】

## 【0009】

【図1】本発明の第1実施形態におけるモータ制御システムのブロック図である。

【図2】圧縮機の(a)側断面図および(b)I-I'断面図である。

【図3】回転角度位置に対する負荷トルクの変化の例を示す図である。

【図4】電力変換回路および電流検出部のブロック図である。

【図5】PWM信号作成器の動作説明図である。

40

【図6】電圧変調率と、電圧比率との関係を示す図である。

【図7】制御軸の回転角度位置と実際の回転子の回転角度位置の関係を示す図である。

【図8】固定座標系である三相軸と回転座標系である制御軸との関係を示す図である。

【図9】(a)電圧変調率の時間変化の例を示す図、(b)はオーバーラグの波形の例を示す図である。

【図10】部分電圧飽和領域で駆動した場合の電圧ベクトル軌跡の例を示す図。

【図11】制御部のブロック図である。

【図12】電圧指令値演算部のブロック図である。

【図13】変調率演算器と印加電圧作成器のブロック図である。

【図14】電圧ベクトルの変化を示す図である。

50

- 【図15】PLL制御器のブロック図である。
- 【図16】トルク電流指令値作成器のブロック図である。
- 【図17】脈動トルク推定器の原理を説明する図である。
- 【図18】脈動トルク推定器のブロック図である。
- 【図19】脈動トルク電流指令値作成器のブロック図である。
- 【図20】振動の周波数依存特性の例を示す図である。
- 【図21】電圧位相調整器のブロック図である。
- 【図22】(a)圧縮機構部の吐出圧の波形図、(b)最大電圧変調率Kおよび平均電圧変調率の波形図、(c)電圧位相調整量の波形図、(d)オーバーフラグの波形図、(e)アンダーフラグの波形図、(f)減算フラグの波形図である。 10
- 【図23】電圧位相調整器による電圧変調率の時間変化の例を示す図である。
- 【図24】電圧位相調整器による電圧ベクトル軌跡の変化の例を示す図である。
- 【図25】第2実施形態における電圧位相調整器のブロック図である。
- 【図26】第3実施形態における電圧位相調整器のブロック図である。
- 【図27】第3実施形態における電力変換回路および電流検出部のブロック図である。
- 【図28】第3実施形態における(a)直流電圧の波形図、(b)最大電圧変調率および平均電圧変調率の波形図、(c)d軸電流指令値の波形図、(d)オーバーフラグの波形図、(e)アンダーフラグの波形図、(f)減算フラグの波形図である。
- 【図29】第4実施形態による流体機械の模式図である。
- 【図30】第4実施形態における電圧位相調整器のブロック図である。 20
- 【図31】電圧位相調整積分ゲインの第1の設定例を示す図である。
- 【図32】電圧位相調整積分ゲインの第2の設定例を示す図である。
- 【図33】回転速度に応じて変調率判定値を変更する設定例を示す図である。
- 【図34】吐出圧または吐出温度に応じて変調率判定値を変更する設定例を示す図である。
- 【図35】第5実施形態における流体機械の模式図である。
- 【図36】レシプロ圧縮機の負荷トルクの変化の例を示す図。
- 【図37】第5実施形態における電圧位相調整器のブロック図である。
- 【図38】第6実施形態による空気調和機の模式図である。
- 【図39】第6実施形態における電圧位相調整積分の設定例を示す図である。 30
- 【図40】第6実施形態における変調率判定値を変更する設定例を示す図である。
- 【図41】第7実施形態による検証システムのブロック図である。
- 【発明を実施するための形態】
- 【0010】
- [第1実施形態]
- <全体構成>
- まず、図1に示すブロック図を参照し、本発明の第1実施形態によるモータ制御システムSの全体構成を説明する。
- モータ制御システムSは、モータ制御装置1と、圧縮機17とを有している。圧縮機17は、共通の密閉容器に収納された電動機6と負荷装置9とを有している。本実施形態において、電動機6は、回転子に永久磁石を埋設した三相の永久磁石同期モータであり、負荷装置9は、回転ロータリー型圧縮機構である。 40
- 【0011】
- また、モータ制御装置1は、インバータを有し直流電圧源から供給された電力によって交流電圧を出力し電動機6を駆動する電力変換回路5と、該電力変換回路5を駆動するドライブ信号を出力する制御部2と、電動機6または電力変換回路5に流れる電流を検出する電流検出部7とを有している。すなわち、制御部2および電力変換回路5によって与えられる交流電圧または交流電流によって、電動機6の速度やトルクを所望の状態に制御し、電動機6に結合された負荷装置9を回転駆動する。
- 【0012】 50

制御部 2 は、CPU (Central Processing Unit)、DSP (Digital Signal Processor)、RAM (Random Access Memory)、ROM (Read Only Memory) 等、一般的なコンピュータとしてのハードウェアを備えており、ROM には、CPU によって実行される制御プログラム、DSP によって実行されるマイクロプログラムおよび各種データ等が格納されている。図 1 において、制御部 2 の内部は一部のみ示すが、制御部 2 の詳細構成は後述する図 1 1 に示す。図 1 1 は、制御プログラムおよびマイクロプログラムによって実現される機能を、ブロックとして示している。

#### 【0013】

##### < 圧縮機 1 7 >

次に、図 2 ( a ) , ( b ) を参照し、圧縮機 1 7 の構成を説明する。なお、図 2 ( a ) は、圧縮機 1 7 の側断面図であり、図 2 ( b ) は図 2 ( a ) における I - I ' 断面図である。

図 2 ( a ) において、圧縮機 1 7 は、負荷装置 9 として採用される回転ロータリー型圧縮機構部 5 0 0 と、電動機 6 とを有し、これらは密閉容器 5 1 1 に収容されている。圧縮機構部 5 0 0 は、円筒状のシリンダ 5 0 4 と、偏心しつつシリンダ 5 0 4 内を回転するロータリーピストン 5 0 1 とを有している。電動機 6 は回転子 6 a と固定子 6 b とを有しており、回転子 6 a はシャフト 5 0 2 を上方向に突出させている。このシャフト 5 0 2 はクランクシャフト 5 0 3 に結合され、クランクシャフト 5 0 3 はロータリーピストン 5 0 1 に結合されている。これにより、圧縮機構部 5 0 0 は電動機 6 のシャフト 5 0 2 によって回転駆動される。

#### 【0014】

また、図 2 ( b ) に示すように、シリンダ 5 0 4 には、吸込み口 5 0 5 と吐出口 5 0 7 とが形成されるとともに、ベーン 5 0 6 が設けられている。ベーン 5 0 6 は、シリンダ 5 0 4 の中心に向かって付勢されており、ロータリーピストン 5 0 1 に摺動しつつ半径方向に移動自在になっている。このような構成により、圧縮機構部 5 0 0 では、電動機 6 を動力源としてロータリーピストン 5 0 1 が偏心駆動され、圧縮機としての吸込み、圧縮、吐出の一連の工程が実行される。次に、図 2 ( b ) を参照しつつ具体的な圧縮工程を説明する。まずシリンダ 5 0 4 に設けられた吸込み口 5 0 5 から気化した冷媒が吸い込まれる。

#### 【0015】

その後、電動機 6 の回転によりロータリーピストン 5 0 1 が回転し、図中にてベーン 5 0 6 よりも左側の空間の容積が小さくなることで冷媒が圧縮される。さらにロータリーピストン 5 0 1 が回転し、ベーン 5 0 6 を外方向に押し切るあたりで、吐出口 5 0 7 から圧縮された ( 液化された ) 冷媒が吐出される。以上のような吸込み、圧縮、吐出の一連の工程においては、ロータリーピストン 5 0 1 に印加される圧力が変化する。この圧力変化を、ロータリーピストン 5 0 1 を駆動する電動機 6 から見ると、周期的に負荷トルクが変化していることを意味する。

#### 【0016】

図 3 は、ロータリーピストン 5 0 1 の機械角一回転における、回転子 6 a の回転角度位置  $\theta$  に対する負荷トルク  $T_L$  の変化の例を示す図である。図 3 の横軸はロータリーピストン 5 0 1 の 1 周期 ( 0 度から 3 6 0 度 ) を示し、縦軸は負荷トルク  $T_L$  の大きさを示している。本実施形態では、電動機 6 として 4 極電動機 ( 回転子 6 a の極数が「4」 ) の例を示しているため、電気角 2 周期が機械角 1 周期に相当する。従って、仮に、電動機 6 が 6 極であった場合は、電気角 3 周期が機械角 1 周期に相当することになる。また、回転子 6 a の位置とロータリーピストン 5 0 1 との位置関係は組み付けによって決まるが、図 3 では、ロータリーピストン 5 0 1 が、図 2 ( a ) においてベーン 5 0 6 を最大限外側に押し出す位置を 0 ° としている。

#### 【0017】

図 3 によれば、圧縮工程が進むにつれ負荷トルク  $T_L$  が急激に大きくなり、吐出工程では、負荷トルク  $T_L$  が減少しており、1 回転中において負荷トルク  $T_L$  が変動していることが分かる。また、回転する度に回転角度位置に応じて負荷トルク  $T_L$  が変動するため、電

10

20

30

40

50

動機 6 から見ると周期的に負荷トルク  $T_L$  が変動していることになる。従って、電動機 6 の回転の都度、図 3 のパターンのトルク変化が生じていることになる。但し、たとえ同一の圧縮機構部 500 を用いたとしても、電動機 6 の回転速度、吸込み口 505 や吐出口 507 の圧力、吸込み口 505 と吐出口 507 の圧力差等によって、負荷トルク  $T_L$  のピーク値や、ピーク値となる回転角度位置  $\theta_d$  や、負荷トルクの増減変化波形は変化する。

#### 【0018】

圧縮機構部 500 における負荷トルク  $T_L$  の変動と、電動機 6 が発生するモータ発生トルク  $T_m$  とに差が生じると、振動や騒音が生じる。特に、前述のように負荷トルク  $T_L$  の変動が大きい場合は、制御部 2 の構成によっては、電動機 6 に流れる電流に跳ね上りが生じ、あるいは電動機 6 の回転速度変動が生じるため、振動や騒音が生じやすい。本実施形態においては、このような振動や騒音を抑制するため、後述する制御部 2 (図 11 参照) においては、負荷トルク  $T_L$  に追従するように、モータ発生トルク  $T_m$  が設定される。

10

#### 【0019】

< 電力変換回路 5 および電流検出部 7 >

次に、図 4 に示すブロック図を参照し、電力変換回路 5 および電流検出部 7 の構成を説明する。

電力変換回路 5 は、図 4 に示すように、インバータ 21 と、直流電圧源 20 と、ゲートドライバ回路 23 とを有している。直流電圧源 20 は、直流電圧  $E_{dc}$  を出力する。インバータ 21 は、スイッチング素子 22a ~ 22f (例えば、IGBT や MOS-FET 等の半導体スイッチング素子) と、これらに並列に接続された還流用ダイオードとを有している。なお、スイッチング素子 22a ~ 22f を総称して「スイッチング素子 22」と呼ぶ。直流電圧源 20 には、シャント抵抗器 25 が直列接続されている。これは、過大な電流が流れないようにスイッチング素子 22 を保護するものである。

20

#### 【0020】

これらのスイッチング素子 22 は、2 組のスイッチング素子 22 が直列に接続されることにより、各相の上下アームを構成している。図 4 の例においては、スイッチング素子 22a, 22b により U 相、スイッチング素子 22c, 22d により V 相、スイッチング素子 22e, 22f により W 相の上下アームが構成されている。各相の上下アームの接続点は、電動機 6 へ接続されている。ゲートドライバ回路 23 は、図 1 に示す PWM 信号作成器 33 が出力するパルス状のドライブ信号 (詳細は後述する) を受信し、これに基づいてドライブ信号 24a ~ 24f を出力する。インバータ 21 においては、これらドライブ信号 24a ~ 24f に基づいて、各スイッチング素子 22 がスイッチング制御される。

30

#### 【0021】

上下アームのスイッチングの状態によって、電力変換回路 5 の各相の電圧は、直流電圧  $E_{dc}$  または零電圧の何れかになる。電力変換回路 5 においては、電動機 6 に現れる交流電圧の周波数よりも十分に高い周波数でスイッチングを行うため、電力変換回路 5 の各相の出力電圧は、上下アームのスイッチングの比率 (スイッチングデューティ) を変えることにより自由に調整できる。すなわち、任意の周波数の三相交流電圧を電動機 6 に印加することができ、これによって電動機 6 の可変速駆動や、トルク制御を実現することができる。

40

#### 【0022】

電流検出部 7 は、電力変換回路 5 から電動機 6 に流れる三相の交流電流のうち、U 相と W 相に流れる電流を検出し、その結果を交流電流検出値  $I_u$ ,  $I_w$  として出力する。勿論、全相の交流電流を検出しても差支えないが、キルヒホッフの第 1 法則から、三相のうち 2 相が検出できれば、他の 1 相は検出した 2 相から算出できる。

#### 【0023】

< PWM 信号作成器 33 >

(PWM 信号作成器 33 の基本的動作)

図 1 において制御部 2 の内部の PWM 信号作成器 33 は、供給された 3 相の電圧指令値  $V_u^*$ ,  $V_v^*$ ,  $V_w^*$  と、キャリア信号である三角波との比較により、電力変換回路 5 に与え

50

るドライブ信号を生成する。電気角一周期における1相分の電圧指令値と三角波キャリア信号とドライブ信号との関係を図5に示す。図5は本実施形態におけるPWM信号作成器33の波形図であり、図中の「電圧指令値」とは、上述の $V_u^*$ 、 $V_v^*$ 、 $V_w^*$ の何れかである。生成されるドライブ信号 $G_p$ 、 $G_n$ は、対応する相における上アーム、下アーム(図4参照)のドライブ信号である。例えば、U相の電圧指令値 $V_u^*$ に対して、生成されるドライブ信号 $G_p$ 、 $G_n$ は、図4におけるドライブ信号24a、24bに対応する。

#### 【0024】

図5において、電圧指令値が三角波キャリア信号のレベル以上になると、上アームのドライブ信号 $G_p$ はHレベルになり、上アームのスイッチング素子はオン状態になる。また、下アームのドライブ信号 $G_n$ はLレベルになり、下アームのスイッチング素子はオフ状態になる。また、電圧指令値が三角波キャリア信号のレベル未満になると、上アームのドライブ信号 $G_p$ はLレベルになり、上アームのスイッチング素子はオフ状態になる。また、下アームのドライブ信号 $G_n$ はHレベルになり、下アームのスイッチング素子はオン状態になる。従って、図5に示すように、電圧指令値のレベルに応じて、ドライブ信号のデューティ比が設定される。

#### 【0025】

なお、ゲートドライバ回路23やスイッチング素子22自体の遅れに起因して、上下アームのスイッチング素子22が短絡する恐れがあるため、実際には上下アームの両方がオフ状態となるデッドタイム(数マイクロ秒~十数マイクロ秒程度)を付加して最終的なドライブ信号とすることが望ましい。但し、以下の説明においては、説明の簡略化のため、デッドタイムを有しない理想的なドライブ信号を用いることを前提として説明する。

#### 【0026】

(変調率と電圧比率)

図6に示すグラフは、電力変換回路5をPWM変調で制御した場合の電圧変調率 $K_h$ と、電圧比率 $R_h$ との関係を示すものである。ここで、横軸の電圧変調率 $K_h$ は、「電圧指令値の振幅(波高値)/三角波キャリア信号の振幅(波高値)」に等しい値である。なお、電圧変調率 $K_h$ は、「電圧指令値の振幅(波高値)/直流電圧Edc」であってもよい。電力変換回路5の出力電圧は、直流電圧源20に対するスイッチングデューティで決定されるため、図示のように、電圧変調率 $K_h$ によって表現している。また、縦軸の電圧比率 $R_h$ は、「相電圧の基本波の振幅(波高値)/直流電圧Edc」に等しい値である。

#### 【0027】

また、特性 $L_1$ は、線間変調を行った場合の特性であり、特性 $L_2$ は、相変調を行った場合の特性である。電圧変調率 $K_h$ が「1.0」未満である場合は、特性 $L_1$ 、 $L_2$ は一致している。本実施形態においては、線間変調を行うこととしている。この場合、電圧変調率 $K_h$ が $2/3$ (1.15)以下であれば、電圧変調率 $K_h$ と電圧比率 $R_h$ との関係は線形である。この領域を「通常領域」と呼ぶ。一方、電圧変調率 $K_h$ が境界値 $K_{hsat}$ ( $=2/3$ )を超えると、両者の関係は非線形になる。この領域を、「電圧飽和領域」と呼ぶ。電圧飽和領域においては、制御部2の各部の応答特性も非線形になるため、電動機6の動作が不安定になりやすくなる。電動機6を安定に駆動する方法として、「電圧飽和領域では電流制御を停止する」という方法が考えられる。しかし、単に電流制御を停止すると、負荷トルク $T_L$ の脈動に対応する電流制御も行えなくなるため、電動機6の回転速度変動が生じ、振動や騒音が悪化するという問題が生じる。

#### 【0028】

<座標軸の説明>

モータ制御装置1の各部の説明の前に、座標軸の定義を明確にしておく。図7は、モータ制御装置1にて検出、推定、あるいは仮定する制御軸の回転角度位置(推定回転角度位置 $\theta_{dc}$ )と、実際の回転子6aの回転角度位置 $\theta_a$ との関係を示す図である。回転子6aに設けられた永久磁石の主磁束方向をd軸とし、d軸から回転方向に電氣的に90度(電気角90度)進んだq軸とからなるd-q軸を定義する。このd-q軸は回転座標系である。

10

20

30

40

50



## 【0029】

図7において、回転子6aの回転角度位置 $\theta_d$ はd軸の位相を示す。このd-q軸に対し、制御上の仮想回転子位置をdc軸とし、そこから回転方向に電氣的に90度進んだ軸をqc軸とし、dc軸、qc軸からなるdc-qc軸を定義する。dc-qc軸も回転座標系である。これらの座標軸の関係が図7に示されている。なお、これ以降の説明において、d-q軸を実軸、dc-qc軸を制御軸と呼ぶこともある。また、実軸と制御軸のズレである誤差角を軸誤差 $\theta_e$ と呼ぶ。但し、本実施形態においては、位置センサ等によって実際の軸誤差 $\theta_e$ が直接的に得られるわけではなく、推測によって求めるため、軸誤差 $\theta_e$ の推定値を推定軸誤差 $\theta_{ec}$ と呼ぶ。

## 【0030】

図8は、固定座標系である3相軸と回転座標系である制御軸との関係を示した図である。図8ではU相を基準にdc軸の回転角度位置(磁極位置)を推定し、その結果を上述の推定回転角度位置 $\theta_{dc}$ とする。dc軸は図中の円弧状矢印の方向(反時計方向)に回転している。そのため、回転周波数(後に示す、インバータ周波数指令値 $\omega_1$ )を積分することで、推定回転角度位置 $\theta_{dc}$ が得られる。本実施形態では、電動機6として永久磁石同期モータを用いているため、モータ制御装置1にて検出、推定、あるいは仮定する制御軸の推定回転角度位置 $\theta_{dc}$ と、実際の回転子6aの回転角度位置 $\theta_d$ とは、基本的には同期している場合が多い。

## 【0031】

<部分的な電圧飽和駆動時の課題>

図9(a)は、電圧飽和領域に近い領域で電動機6を駆動した場合の電圧変調率 $K_h$ の時間変化の例を示す図である。図9(a)においては、直流電圧源20が出力する直流電圧 $E_{dc}$ (図4参照)は一定であると仮定している。しかし、負荷トルク $T_L$ の変動によって、機械角一回転の周期で電圧変調率 $K_h$ は変化している。ここで、電圧変調率 $K_h$ の機械角一回転中の平均値を電圧変調率 $K_h$ の「直流成分」と呼び、電圧変調率 $K_h$ からこの直流成分を減算したものを「交流成分」と呼ぶ。

## 【0032】

電動機6の一回転中の負荷トルク $T_L$ の変動が大きくなると、一回転中のある一部の期間のみ、電圧変調率 $K_h$ が境界値 $K_{hsat}$ ( $=2/3$ )を超えるような状態が生じる。このような状態を「部分電圧飽和状態」と呼ぶ。また、図9(b)に示すオーバーフラグ $K_{hOverFlg}$ は、電圧変調率 $K_h$ が境界値 $K_{hsat}$ を超えた場合に“1”になり、それ以外の場合に“0”になるフラグである。このフラグの用途については後述する。

## 【0033】

図10は、部分電圧飽和状態で駆動した場合の電圧ベクトル軌跡の例を示す図である。一点鎖線で示す円弧102の外側が電圧飽和領域になり、円弧102の内側が通常領域になる。電圧ベクトル104は、機械角一回転中に、一周するような電圧ベクトル軌跡106を描くが、部分電圧飽和状態においては、電圧ベクトル軌跡106の一部が、円弧102の外側にはみ出す。なお、図10において、電圧ベクトル104は、機械角一回転中における平均値を示している。電圧ベクトル104は、瞬時的には、電圧ベクトル軌跡106上の何れかの点に位置することになる。

## 【0034】

このような部分電圧飽和状態での駆動は、短時間であれば問題にならない場合が多い。しかし、部分電圧飽和状態が継続すると、電動機6に対する電流制御が適切に行われず、電動機6が不安定になる場合がある。そこで、本実施形態においては、電圧変調率 $K_h$ の最大値が境界値 $K_{hsat}$ 以下になるように、電圧変調率 $K_h$ を抑制するとともに、電動機6に十分な電流を流せるように、電圧指令値の位相を制御する(弱め磁束制御を行う)ことにしている。これにより、電動機6の負荷トルク $T_L$ の変動や直流電圧 $E_{dc}$ の変動があった場合においても、安定的に電動機6を駆動することができる。

## 【0035】

<制御部2>

10

20

30

40

50

(全体構成)

次に、図 1 1 に示すブロック図を参照し、P W M 信号作成器 3 3 以外の制御部 2 の各構成要素について説明する。

図中の 3 / d q 変換器 8 は、推定回転角度位置  $\theta_{dc}$  を用いて、3 相軸上の交流電流検出値  $I_u$ 、 $I_w$  を制御軸上（すなわち d c 軸上および q c 軸上）の電流検出値  $I_{dc}$ 、 $I_{qc}$  に座標変換する。また、d q / 3 変換器 4 は、推定回転角度位置  $\theta_{dc}$  を用いて、制御軸上の電圧指令値  $V_d^{**}$ 、 $V_q^{**}$  を 3 相軸上の電圧指令値  $V_u^*$ 、 $V_v^*$ 、 $V_w^*$  に座標変換する。

【 0 0 3 6 】

これらにより、制御部 2 の内部では、主として回転座標系である d c - q c 軸が使用される。その理由は、回転座標系では電圧や電流の定常的な値は直流量として扱えるという利点があるためである。座標変換のためには、電動機 6 の回転子 6 a の回転角度位置の情報が必要になる。本実施形態では、位置センサ等によって回転角度位置を検出するのではなく、上述したように、電動機 6 に流れる電流および電動機 6 への印加電圧に基づいて、推定回転角度位置  $\theta_{dc}$  を計算することとしている。これにより、回転子 6 a に位置センサ等を設けることが不要になり、コストダウンを図ることができる。

10

【 0 0 3 7 】

軸誤差演算器 1 2 は、制御軸上の電流検出値  $I_{dc}$ 、 $I_{qc}$  と、制御軸上の電圧指令値  $V_d^*$ 、 $V_q^*$  とに基づいて、実軸と制御軸との推定軸誤差  $\theta_c$  を演算する。減算器 9 1 b は、推定軸誤差  $\theta_c$  と軸誤差指令値  $\theta^*$ （通常は零）との差分を出力する。P L L 制御器 1 3 は、この差分が零に近づくように、位相制御を行いつつ、インバータ周波数指令値  $\omega_1$  を出力する。積分器 9 4 a は、インバータ周波数指令値  $\omega_1$  を積分することにより、上述した推定回転角度位置  $\theta_{dc}$  を出力する。このように、軸誤差演算器 1 2、減算器 9 1 b、P L L 制御器 1 3 および積分器 9 4 a は、推定回転角度位置  $\theta_{dc}$  を求める位置推定部 4 0 を構成する。

20

【 0 0 3 8 】

脈動トルク推定器 1 6 は、モータ発生トルク  $T_m$  と負荷トルク  $T_L$  との差分（差トルク  $T_m$ ）の推定値である差トルク推定値  $T_m^{\wedge}$  を求める。また、トルク電流指令値作成器 1 0 は、負荷トルク  $T_L$  の平均値に応じたトルク電流指令値  $I_{tq}^*$  を作成する。また、脈動トルク電流指令値作成器 1 1 は、差トルク推定値  $T_m^{\wedge}$  に基づいて、これを補償する脈動トルク電流指令値  $I_{qs in}^*$  を出力する。加算器 9 0 b は、トルク電流指令値  $I_{tq}^*$  と脈動トルク電流指令値  $I_{qs in}^*$  とを加算し、その結果を q 軸電流指令値  $I_q^*$  として出力する。

30

【 0 0 3 9 】

電圧指令値演算部 3 4 は、d 軸電流指令値  $I_d^*$  と、q 軸電流指令値  $I_q^*$  と、インバータ周波数指令値  $\omega_1$  とに基づいて、制御軸上の電圧指令値  $V_d^*$ 、 $V_q^*$  を出力する。変調率演算器 2 9 は、直流電圧源 2 0（図 4 参照）が出力する直流電圧  $E_{dc}$  と、電圧指令値  $V_d^*$ 、 $V_q^*$  とに基づいて、電圧変調率  $K_{hv1}$  を出力する。なお、「電圧変調率  $K_{hv1}$ 」は、図 6、図 9 等に示した「電圧変調率  $K_h$ 」と同様であるが、電圧変調率  $K_{hv1}$  は、「電圧指令値  $V_d^*$ 、 $V_q^*$  の振幅すなわち  $(V_d^{*2} + V_q^{*2})$  と、直流電圧  $E_{dc}$  との比」という意味に限定して用いる。電圧変調率  $K_{hv1}$  は、負荷トルク  $T_L$  に対応する周期（例えば同一の周期）で増減する。このようなパラメータを「負荷トルク対応パラメータ」と呼ぶ。

40

【 0 0 4 0 】

電圧位相調整器 6 0 は、電圧指令値  $V_d^*$ 、 $V_q^*$  に対して、進めるべき位相を電圧位相調整量  $\theta_v^*$  として出力する。印加電圧作成器 1 9 は、電圧指令値  $V_d^*$ 、 $V_q^*$  に対して、電圧位相調整量  $\theta_v^*$  だけ位相を進め、その結果を電圧指令値  $V_d^{**}$ 、 $V_q^{**}$  として出力する。なお、図 1 1 および他の図においては、見やすくするために、一部の信号線は結線していない。しかし、同一の記号を付した箇所（例えば、インバータ周波数指令値の「 $\omega_1$ 」を付した箇所）は、結線されているのと等価である。

【 0 0 4 1 】

(電圧指令値演算部 3 4)

次に、図 1 2 を参照し、電圧指令値演算部 3 4 の構成を説明する。電圧指令値演算部 3

50

4 には、d 軸，q 軸の電流指令値  $I_d^*$ ， $I_q^*$  が供給される。また、電圧指令値演算部 3 4 には、PLL 制御器 1 3 からインバータ周波数指令値  $\omega_1$  が供給されるとともに、3 / d q 変換器 8 から電流検出値  $I_{dc}$ ， $I_{qc}$  が供給される。d 軸電流指令値  $I_d^*$  は本実施形態においては零値を設定しているため、この理由について述べておく。本実施形態においては、電動機 6 は、非突極型の永久磁石同期モータであることを想定しているため、d 軸，q 軸のインダクタンス  $L_d$ ， $L_q$  が同一になる。

【0042】

これにより、本実施形態においては、d 軸，q 軸のインダクタンス  $L_d$ ， $L_q$  の差によって発生するリラクタンストルクは考慮する必要がなくなる。したがって、電動機 6 が発生するモータ発生トルク  $T_m$  は q 軸を流れる電流に比例するものと考え、d 軸電流指令値  $I_d^*$  は零値を設定している。また、後述する弱め磁束制御を行うことにより、電動機 6 には弱め磁束制御に基づく d 軸電流が流れるが、これは印加電圧作成器 1 9 および電圧位相調整器 6 0 ( 図 1 1 参照 ) 等によって実現されるため、電圧指令値演算部 3 4 内では d 軸電流指令値  $I_d^*$  は零値として扱う。

10

【0043】

なお、電動機 6 が突極型 ( d 軸と q 軸のインダクタンスの差がある ) である場合は、q 軸電流によるトルクの他に、d 軸と q 軸のインダクタンスの差に起因するリラクタンストルクが生じる。この場合は、リラクタンストルクを考慮して d 軸電流指令値  $I_d^*$  を設定することにより、同じトルクを小さい q 軸電流で発生でき、消費エネルギーを削減できる。

【0044】

図 1 2 の d 軸電流制御器 1 4 a において、減算器 9 1 c は、d 軸電流指令値  $I_d^*$  から d 軸電流検出値  $I_{dc}$  を減算する。比例器 9 2 c，9 2 d は、この減算結果に対して、各々所定のゲイン  $K_{p\_acr d}$ ， $K_{i\_acr d}$  を乗算する。積分器 9 4 c は、比例器 9 2 d の出力結果、すなわち「 $K_{i\_acr d} \times (I_d^* - I_{dc})$ 」を積分する。加算器 9 0 c は、比例器 9 2 c の乗算結果と、積分器 9 4 c の積分結果とを加算し、その加算結果を d 軸電流指令値  $I_d^{**}$  として出力する。

20

【0045】

同様に、q 軸電流制御器 1 4 b において、減算器 9 1 d は q 軸電流指令値  $I_q^*$  から q 軸電流検出値  $I_{qc}$  を減算する。比例器 9 2 e，9 2 f は、この減算結果に対して、各々ゲイン  $K_{p\_acr q}$ ， $K_{i\_acr q}$  を乗算する。積分器 9 4 d は、比例器 9 2 f の出力結果、すなわち「 $K_{i\_acr q} \times (I_q^* - I_{qc})$ 」を積分する。加算器 9 0 d は、比例器 9 2 e の乗算結果と、積分器 9 4 d の積分結果とを加算し、その加算結果を q 軸電流指令値  $I_q^{**}$  として出力する。このように、d 軸電流制御器 1 4 a および q 軸電流制御器 1 4 b は、各々比例積分演算器を構成している。

30

【0046】

ここで、電流制御器 1 4 a，1 4 b において比例積分演算を行っている理由について説明しておく。後述する乗算器 9 2 g，9 2 i 等の構成要素では、電動機 6 の 1 相あたりの巻線抵抗値  $R$  を用いて演算を行っている。しかし、実際の巻線抵抗値  $R$  は一定値ではない。例えば、固定子 6 b に対して大きな電流を供給すると、固定子 6 b の温度上昇によって実際の巻線抵抗値  $R$  は大きくなる。

40

【0047】

このような場合、d 軸，q 軸の電流指令値  $I_d^*$ ， $I_q^*$  と、想定した巻線抵抗値  $R$  とに基づいて d 軸，q 軸電圧指令値  $V_d^*$ ， $V_q^*$  を出力すると、実際の d 軸，q 軸の電流値が d 軸，q 軸の電流指令値  $I_d^*$ ， $I_q^*$  に一致しなくなり、トルク制御の精度が悪化する。そこで、d 軸，q 軸電流指令値  $I_d^*$ ， $I_q^*$  と、対応する電流検出値  $I_{dc}$ ， $I_{qc}$  とを比較し、その差分に基づいて求めた d 軸，q 軸電流指令値  $I_d^{**}$ ， $I_q^{**}$  を用いることにより、巻線抵抗値  $R$  の変動による影響を吸収しつつ制御を続行することが可能になる。

【0048】

d 軸，q 軸電流指令値  $I_d^{**}$ ， $I_q^{**}$  には、乗算器 9 2 g，9 2 i にて、それぞれ電動機 6 の 1 相あたりの巻線抵抗値  $R$  が乗算され、電圧値  $R \times I_d^{**}$ ， $R \times I_q^{**}$  が出力される。

50

また、d 軸電流指令値  $I_d^{**}$  は、低域通過フィルタ 9 8 b に供給され、一次遅れフィルタの伝達関数「 $1 / (1 + T_d s)$ 」にてフィルタリングされ、d 軸電流指令値  $I_{df}^{**}$  として出力される。同様に、q 軸電流指令値  $I_q^{**}$  は、低域通過フィルタ 9 8 a に供給され、一次遅れフィルタの伝達関数「 $1 / (1 + T_q s)$ 」にてフィルタリングされ、q 軸電流指令値  $I_{qf}^{**}$  として出力される。ここで、時定数  $T_d$ 、 $T_q$  は、電動機 6 の固定子 6 b の電気時定数であり、 $T_d = L_d / R$ 、 $T_q = L_q / R$  になる。

【0049】

乗算器 9 2 h においては、q 軸電流指令値  $I_{qf}^{**}$  に対して、インバータ周波数指令値  $\omega_1$  と、q 軸のインダクタンス  $L_q$  とが乗算される。減算器 9 1 e においては、電圧値  $R \times I_d^{**}$  から乗算器 9 2 h の出力信号  $\omega_1 \times L_q \times I_{qf}^{**}$  から減算され、下式 (1) に示す d 軸電圧指令値  $V_d^*$  が出力される。

$$V_d^* = R \times I_d^{**} - \omega_1 \times L_q \times I_{qf}^{**} \quad \dots (1)$$

【0050】

また、乗算器 9 2 j においては、d 軸電流指令値  $I_{df}^{**}$  に対して、インバータ周波数指令値  $\omega_1$  と、d 軸のインダクタンス  $L_d$  とが乗算される。乗算器 9 2 k においては、インバータ周波数指令値  $\omega_1$  に対して、誘起電圧定数  $K_e$  が乗算される。電動機 6 は同期電動機であると同時に同期発電機でもある。すなわち、回転子 6 a が回転すると、回転速度に比例する起電力が固定子 6 b に生ずる。その際の比例定数が上記誘起電圧定数  $K_e$  である。そして、加算器 9 0 e においては、乗算器 9 2 i、9 2 j、9 2 k の各出力信号が加算され、その結果として下式 (2) に示す q 軸電圧指令値  $V_q^*$  が出力される。

$$V_q^* = R \times I_q^{**} + \omega_1 \times L_d \times I_{df}^{**} + \omega_1 \times K_e \quad \dots (2)$$

【0051】

上述の乗算器 9 2 h、9 2 j は、d 軸、q 軸間の相互干渉をシミュレートしようとするものである。q 軸電流によって生じた起電力は、ほぼ  $90^\circ$  遅れて d 軸に現れる。この現象をシミュレートするため、減算器 9 1 e においては、電圧値  $I_d^{**} R$  から  $\omega_1 \times L_q \times I_{qf}^{**}$  を減算している。また、d 軸電流によって生じた起電力は、ほぼ  $90^\circ$  遅れて q 軸のマイナス方向に現れる。この現象をシミュレートするため、加算器 9 0 e では、電圧値  $I_q^{**} R$  に対して  $\omega_1 \times L_d \times I_{df}^{**}$  を加算している。

【0052】

図 1 2 の回路構成では、電圧指令値演算部 3 4 の中に、電流制御器 1 4 a、1 4 b を設けた点と、電動機 6 の電気時定数相当の遮断周波数を有する一次遅れフィルタである低域通過フィルタ 9 8 a、9 8 b を設けた点とが特徴である。これらによって電動機 6 の逆モデルを成立させているため、制御部 2 の演算周期に制約がある場合においても電動機 6 に対するベクトル制御を実現できる。

【0053】

(変調率演算器 2 9 および印加電圧作成器 1 9)

次に、図 1 3 に示すブロック図を参照し、変調率演算器 2 9 および印加電圧作成器 1 9 の構成を説明する。

変調率演算器 2 9 の内部において、極座標変換器 8 8 は、d 軸、q 軸電圧指令値  $V_d^*$ 、 $V_q^*$  を極座標に変換することにより、電圧指令値振幅  $V_1$  と、電圧位相  $\theta_V$  とを出力する。除算器 9 3 b は、直流電圧源 2 0 (図 4 参照) の直流電圧  $E_{dc}$  を  $1/2$  で除し、除算器 9 3 a は、電圧指令値振幅  $V_1$  を、「 $E_{dc} / 2$ 」で除し、その結果を電圧変調率  $K_{hv1}$  として出力する。これにより、変調率演算器 2 9 は、電圧変調率  $K_{hv1}$  と、電圧位相  $\theta_V$  とを出力する。

【0054】

また、印加電圧作成器 1 9 の内部において、加算器 9 0 g は、電圧位相  $\theta_V$  と、電圧位相調整器 6 0 から出力された電圧位相調整量  $\theta_v^*$  とを加算する。電圧変調率  $K_{hv1}$  と、加算器 9 0 g の出力信号 ( $\theta_V + \theta_v^*$ ) とは、直交座標変換器 8 9 に供給され、これらは再度、直交二軸上の電圧指令値  $V_d^{**}$ 、 $V_q^{**}$  に変換される。このように、電圧変調率  $K_{hv1}$  を用いて電圧指令値  $V_d^{**}$ 、 $V_q^{**}$  を生成することにより、直流電圧  $E_{dc}$  が変化した

10

20

30

40

50

場合においても、所望の電圧を電動機 6 に印加できる可能性を高めることができる。

【 0 0 5 5 】

図 1 4 は、変調率演算器 2 9 に入力された d 軸、q 軸電圧指令値  $V_d^*$ 、 $V_q^*$  と、印加電圧作成器 1 9 から出力された電圧指令値  $V_d^{**}$ 、 $V_q^{**}$  との、電圧ベクトルの変化を示す図である。図 1 4 から明らかなように、電圧指令値  $V_d^{**}$ 、 $V_q^{**}$  は、電圧指令値  $V_d^*$ 、 $V_q^*$  に対して同一の振幅を有し、電圧位相が電圧位相調整量  $\theta_v^*$  相当だけ変更されたものになる。

【 0 0 5 6 】

(位置推定部 4 0)

図 1 1 に戻り、位置推定部 4 0 についてさらに詳細を説明する。

本実施形態においては、電動機 6 の回転子 6 a の回転角度位置  $\theta_r$  を実測せず、電流検出値  $I_{dc}$ 、 $I_{qc}$  と電圧指令値  $V_d^*$ 、 $V_q^*$  とに基づいて、推定回転角度位置  $\theta_{dc}$  を求め、位置センサレス制御を行っている。また、推定回転角度位置  $\theta_{dc}$  は、直接的に推定するのではなく、実軸と制御軸のズレである誤差角 (軸誤差  $\theta_d$ ) の推定値である推定軸誤差  $\theta_{dc}$  を求め、これが零値に近づくように制御することにより、間接的に推定している。

【 0 0 5 7 】

上述したように、軸誤差演算器 1 2 は、制御軸上の電流検出値  $I_{dc}$ 、 $I_{qc}$  と、制御軸上の電圧指令値  $V_d^*$ 、 $V_q^*$  とに基づいて、推定軸誤差  $\theta_d$  を演算するが、これは具体的には下式 (3) によって求めている。

【数 1】

$$\Delta\theta_c = \tan^{-1} \left( \frac{V_d^* - R \times I_{dc} + \omega_1 \times L_q \times I_{qc}}{V_q^* - R \times I_{qc} - \omega_1 \times L_q \times I_{dc}} \right) \dots (3)$$

【 0 0 5 8 】

次に、図 1 5 に示すブロック図を参照し、PLL 制御器 1 3 の構成を説明する。

PLL 制御器 1 3 は、軸誤差  $\theta_d$  が軸誤差指令値  $\theta_d^*$  (本実施形態では零値) に一致させる方向にインバータ周波数指令値  $\omega_1$  を調整するものである。減算器 9 1 b から、軸誤差指令値  $\theta_d^*$  と軸誤差  $\theta_d$  との差分が出力されると、比例器 9 2 a は、この差分に比例ゲイン  $K_{p\_p11}$  を乗算し、比例器 9 2 b は該差分に比例ゲイン  $K_{i\_p11}$  を乗算する。積分器 9 4 b は、比例器 9 2 b の出力を積分する。これにより、比例器 9 2 b と積分器 9 4 b とは、積分演算部 9 5 を構成する。この積分演算部 9 5 における演算結果と比例器 9 2 a における乗算結果とは、加算器 9 0 a にて加算され、この加算結果がインバータ周波数指令値  $\omega_1$  になる。これにより、PLL 制御器 1 3 は、いわゆる比例積分演算器を構成している。

【 0 0 5 9 】

図 1 1 に戻り、PLL 制御器 1 3 の後段に設けられた積分器 9 4 a により、インバータ周波数指令値  $\omega_1$  が積分される。速度を積分すると位置になるから、積分器 9 4 a は、インバータ周波数指令値  $\omega_1$  を積分することによって、推定回転角度位置  $\theta_{dc}$  を出力する。このように、本実施形態の位置推定部 4 0 は、実軸と制御軸のズレである軸誤差  $\theta_d$  を推定して推定軸誤差  $\theta_{dc}$  を求め、推定軸誤差  $\theta_{dc}$  が零値に近づくよう制御することにより、推定回転角度位置  $\theta_{dc}$  を間接的に推定するものである。出力された推定回転角度位置  $\theta_{dc}$  は、上述したように、dq/3 変換器 4、3/dq 変換器 8 等に供給される。

【 0 0 6 0 】

(トルク電流指令値作成器 1 0)

次に、図 1 6 に示すブロック図を参照し、図 1 1 に示したトルク電流指令値作成器 1 0 の詳細構成を説明する。

図 1 6 において、減算器 9 1 f は、周波数指令値  $\omega^*$  と、インバータ周波数指令値  $\omega_1$  との差分を出力する。なお、回転速度指令値  $\omega^*$  は、図示せぬ上位制御系等から与えられる。この差分に対して、比例器 9 2 p、9 2 q では、各々比例ゲイン  $K_{p\_asr}$ 、 $K_{i\_$

10

20

30

40

50

a s r が乗算され、比例器 9 2 q の出力は積分器 9 4 e によって積分される。比例器 9 2 p および積分器 9 4 e の出力は、加算器 9 0 f において加算され、その結果がトルク電流指令値  $I_{tq}^*$  として出力される。すなわち、トルク電流指令値作成器 1 0 は、いわゆる比例積分演算器を構成している。比例ゲイン  $K_{p\_asr}$ ,  $K_{i\_asr}$  は、比較的応答速度が遅くなるように設定されているため、トルク電流指令値作成器 1 0 が出力するトルク電流指令値  $I_{tq}^*$  は、負荷トルク  $\tau_L$  の平均値に比例する値になる。

【 0 0 6 1 】

( 脈動トルク推定器 1 6 )

電動機 6 により駆動される負荷装置 9 の負荷トルク  $\tau_L$  が、図 3 に示したように 1 回転中において変動する場合、モータ発生トルク  $\tau_m$  や、電動機の実周波数 ( 電動機の回転速度 ) や、電動機に流れる電流等が電動機の回転周波数で脈動することが知られている。しかし、PLL 制御器 1 3 ( 図 1 5 参照 )、電流制御器 1 4 a, 1 4 b ( 図 1 2 参照 )、トルク電流指令値作成器 1 0 ( 図 1 6 参照 ) 等のフィードバック制御器に設定可能な応答周波数には制約があり、1 回転中における負荷トルク  $\tau_L$  の変動を十分に補償することは難しい。そこで、負荷トルク  $\tau_L$  の変動を抑制するために、脈動トルク推定器 1 6 と、脈動トルク電流指令値作成器 1 1 とが設けられている。

10

【 0 0 6 2 】

トルク電流指令値作成器 1 0 ( 図 1 6 参照 ) について説明したように、インバータ周波数指令値  $\omega_1$  の平均値は、上位制御系等から与えられる周波数指令値  $\omega^*$  に一致する。しかし、瞬時速度には、式 ( 4 ) に示す速度変動  $\Delta \omega$  が生じる。

20

【 数 2 】

$$\Delta \omega = \int \frac{\tau_m - \tau_L}{J} dt \quad \dots (4)$$

ここで、 $\tau_m$  はモータ発生トルク、 $\tau_L$  は負荷トルク、 $J$  は電動機 6 の慣性モーメントである。式 ( 4 ) から明らかなように、モータ発生トルク  $\tau_m$  と負荷トルク  $\tau_L$  との差によって、速度変動が生じる。また、速度変動が生じるということは、位置誤差も生じることを意味している。

【 0 0 6 3 】

図 1 7 は、モータ発生トルク  $\tau_m$  と負荷トルク  $\tau_L$  との差が軸誤差  $\theta_d$  に至るまでの現象をブロック線図として示したものである。モータ発生トルク  $\tau_m$  と負荷トルク  $\tau_L$  との差トルク  $\tau_m - \tau_L$  を減算器 9 1 h にて求め、これに慣性モーメント  $J$  の逆数を乗算して積分器 9 4 f にて積分することで、電動機の回転子 6 a の機械速度  $\omega_r$  が得られる。次に、機械速度  $\omega_r$  に電動機 6 の極対数 ( = 極数  $P / 2$  ) を乗算器 9 2 r にて乗算することにより、電動機 6 の電気速度  $\omega_e$  が得られる。さらに電気速度  $\omega_e$  を積分器 9 4 g にて積分することにより、回転子 6 a の回転角度位置  $\theta_r$  が得られる。そして、推定回転角度位置  $\hat{\theta}_d$  から回転子 6 a の回転角度位置  $\theta_r$  を減算器 9 1 i にて減算することにより、その角度誤差 ( 軸誤差  $\theta_d$  ) が得られる。

30

【 0 0 6 4 】

図 1 7 に示した過程を経て、差トルク  $\tau_m - \tau_L$  が軸誤差  $\theta_d$  に至ると考えることができる。これは、換言すると、軸誤差  $\theta_d$  を検出または推定できれば、差トルク  $\tau_m - \tau_L$  を推定することが可能になることを意味している。前述の通り、本実施形態では、位置センサレス制御を採用しているため、軸誤差  $\theta_d$  は直接的には得られないが、軸誤差  $\theta_d$  に代えて推定軸誤差  $\hat{\theta}_d$  を用いることができる。そこで、軸誤差  $\theta_d$  から差トルク  $\tau_m - \tau_L$  が得られるように、図 1 7 における矢印を逆方向にし、図 1 7 における複素数  $s$  を  $j \omega_r$  に置き換えて整理し、かつ、本実施形態で検出あるいは推定が可能な値を用いるように等価変換すると、図 1 8 に示すブロック図が得られる。この図 1 8 に示すブロック図が、脈動トルク推定器 1 6 の構成に等しくなる。すなわち、脈動トルク推定器 1 6 は、推定軸誤差  $\hat{\theta}_d$  が入力されると、これに「 $2 \times J \times \omega_r^2 / P$ 」を乗算し、その乗算結果を差トルク推定

40

50

値  $\hat{m}_m$  として出力する。

【0065】

(脈動トルク電流指令値作成器11)

次に、図19に示すブロック図を参照し、脈動トルク電流指令値作成器11の構成を説明する。

図19において、積分器94jはインバータ周波数指令値  $\omega_r$  を積分することにより、推定回転角度位置  $\theta_{dc}$  を出力する。乗算器92oでは、推定回転角度位置  $\theta_{dc}$  に「 $2/P$ 」(Pは極数)が乗算され、その結果が推定機械角度位置  $\theta_r$  として出力される。余弦演算器96および正弦演算器97は、それぞれ推定機械角度位置  $\theta_r$  の余弦成分  $\cos \theta_r$  および正弦成分  $\sin \theta_r$  を出力する。

10

【0066】

脈動トルク推定器16(図18参照)から出力された差トルク推定値  $\hat{m}_m$  は、図17に示したモータ発生トルク  $m_m$  と負荷トルク  $T_L$  の差分に相当する値である。単相座標変換器32においては、差トルク推定値  $\hat{m}_m$  に推定機械角度位置  $\theta_r$  の余弦成分  $\cos \theta_r$  および正弦成分  $\sin \theta_r$  が乗算され、下式(5)、(6)に示すように、機械速度  $\omega_r$  (機械角1次成分)における余弦成分  $m_{mc}$  と正弦成分  $m_{ms}$  とが出力される。すなわち、差トルク推定値  $\hat{m}_m$  が、機械速度  $\omega_r$  で回転する座標系に座標変換される。

$$m_{mc} = \cos \theta_r \times \hat{m}_m \quad \dots (5)$$

$$m_{ms} = \sin \theta_r \times \hat{m}_m \quad \dots (6)$$

【0067】

20

低域通過フィルタ98c, 98dでは、差トルク推定値余弦成分  $m_{mc}$  および差トルク推定値正弦成分  $m_{ms}$  のうち、機械速度  $\omega_r$  以上の成分が減衰される。次に、減算器91j, 91kにおいては、差トルク推定値余弦成分  $m_{mc}$ , 差トルク推定値正弦成分  $m_{ms}$  と、それぞれの指令値 ( $m_{mc}^* = 0$ ,  $m_{ms}^* = 0$ ) との差が求められる。そして、求められた差に対して比例器92t, 92mでは積分ゲイン  $K_{i\_atr}$  が乗じられ、積分器94h, 94iでは、各乗算結果が積分される。

【0068】

これらの積分結果は、脈動トルク電流指令値の余弦成分  $I_{qs\sin^*c}$  および正弦成分  $I_{qs\sin^*s}$  になる。この後、再度、単相座標逆変換器37にて、次式(7)に基づいて座標変換が実行される。

30

$$\hat{m}_{mm} = \cos \theta_r \times I_{qs\sin^*c} + \sin \theta_r \times I_{qs\sin^*s} \quad \dots (7)$$

【0069】

この座標変換により、差トルク推定値  $\hat{m}_m$  の機械速度  $\omega_r$  の成分  $\hat{m}_{mm}$  が得られる。差トルク推定値の機械速度成分  $\hat{m}_{mm}$  には、比例器92nにてゲイン  $K_{trq}$  が乗算され、その乗算結果が脈動トルク電流指令値  $I_{qs\sin^*}$  として出力される。なお、本実施形態では、ゲイン  $K_{trq}$  は「1」である。そして、図11について上述したように、加算器90bにおいては、脈動トルク電流指令値  $I_{qs\sin^*}$  とトルク電流指令値  $I_{tq^*}$  とが加算され、加算結果がq軸電流指令値  $I_q^*$  として出力される。

【0070】

40

(部分電圧飽和状態における脈動トルク制御の課題)

以上のように、脈動トルク推定器16、脈動トルク電流指令値作成器11を設けることにより、周期的な負荷変動を補償し、電動機6の騒音や振動を低減することが可能になる。

しかし、前述の通り、部分電圧飽和状態で制御部2を継続して駆動すると、電流制御器14や脈動トルク電流指令値作成器11が適切に動作せず、電動機6が不安定になる場合がある。

様々な回転速度で電動機6および負荷装置9を駆動した際の振動(振動振幅値)の周波数特性の例を図20に示す。図示のように、全体的には、回転速度が低速になっていくにつれ、振動振幅値が大きくなっていく傾向を有する。これは、電動機6の速度が低下すると、慣性力が小さくなるためである。また、1300rpm近傍にピークが現れているが

50

、これは電動機 6 や負荷装置 9 等の機械系の機械共振周波数である。

【 0 0 7 1 】

振動の周波数特性は、負荷条件によっても変動する。図 2 0 に破線で示した周波数特性は、実線よりも負荷が重い場合の例である。例えば、圧縮機構部 5 0 0 ( 図 3 ( b ) 参照 ) の吸込み口 5 0 5 の圧力と吐出口 5 0 7 の圧力の差が大きくなれば、負荷が大きくなる。負荷が大きい場合であっても、3 0 0 0 r p m 付近の高速域では振動の差は小さくなる。一方、回転速度が低速になるほど振動の増加 ( 悪化 ) が顕著になる。

【 0 0 7 2 】

例えば、1 3 0 0 r p m 付近の回転速度で電動機 6 を駆動すると、負荷が重くなり、あるいは直流電圧源 2 0 ( 図 4 参照 ) の電圧が低下することで、部分電圧飽和状態が発生する可能性がある。その際、単純に電流制御器 1 4 a , 1 4 b ( 図 1 2 参照 ) や脈動トルク電流指令値作成器 1 1 ( 図 1 9 参照 ) を停止してしまうと、電動機 6 の回転速度変動が生じ、振動や騒音が悪化する。

10

【 0 0 7 3 】

ここで、再び図 1 0 を参照し、電圧ベクトル軌跡 1 0 6 に着目すると、電圧ベクトル 1 0 4 の平均値つまり楕円の電圧ベクトル軌跡 1 0 6 の中央部分は、通常領域であり、充分に余裕があることが分かる。この点が、電動機 6 の負荷変動および直流電圧 E d c の変動が生じた場合においても、安定に電動機 6 を駆動制御する着眼点になる。

【 0 0 7 4 】

( 電圧位相調整器 6 0 )

20

次に、図 2 1 のブロック図を参照し、電圧位相調整器 6 0 の構成を説明する。

上述したように、電圧位相調整器 6 0 は、電圧変調率  $K_{hV1}$  に基づいて、電圧位相調整量  $v^*$  を出力するためのものであり、比較器 6 1 a , 6 1 b と、状態保持器 ( ラッチ回路 ) 8 2 と、ピークホールド回路 6 3 と、論理積器 8 3 と、入力切替器 8 4 と、積分器 9 4 k とを有している。ピークホールド回路 6 3 は、電圧変調率  $K_{hV1}$  のピーク値を検出するとそのピーク値をラッチして出力し、次のピークを検出するまで、そのピーク値を出力し続ける。電圧変調率  $K_{hV1}$  は機械角一回転を周期として脈動するため、このピーク値は、過去の機械角一回転中の電圧変調率  $K_{hV1}$  の最大値に等しい。そこで、このピーク値を「最大電圧変調率  $K_{hp}$  」と呼ぶ。比較器 6 1 a は、最大電圧変調率  $K_{hp}$  と第一の判定値  $K_{hJud1}$  とを比較し、「  $K_{hp} > K_{hJud1}$  」である場合は “ 1 ” 、 「  $K_{hp} < K_{hJud1}$  」である場合は “ 0 ” になるオーバーフラグ  $K_{hOverFlg}$  を出力する。

30

【 0 0 7 5 】

上述した図 9 ( a ) , ( b ) においては、第一の判定値  $K_{hJud1}$  は、境界値  $K_{hsat}$  ( = 2 / 3 ) に等しいことを想定している。但し、第一の判定値  $K_{hJud1}$  は、必ずしも境界値  $K_{hsat}$  に一致する必要はない。例えば、ある程度の振動、騒音を容認しても消費電力を低減させたい場合は、第一の判定値  $K_{hJud1}$  は境界値  $K_{hsat}$  よりも大きくするとよい。

【 0 0 7 6 】

比較器 6 1 b は、最大電圧変調率  $K_{hp}$  と第二の判定値  $K_{hJud2}$  とを比較し、「  $K_{hp} < K_{hJud2}$  」である場合は “ 1 ” 、 「  $K_{hp} > K_{hJud2}$  」である場合は “ 0 ” になるアンダーフラグ  $K_{hUnderFlg}$  を出力する。なお、第二の判定値  $K_{hJud2}$  は、第一の判定値  $K_{hJud1}$  よりも若干低い値になっている。状態保持器 8 2 は、オーバーフラグ  $K_{hOverFlg}$  が “ 1 ” になると、そのオーバーフラグ  $K_{hOverFlg}$  の値 ( “ 1 ” ) を保持し続け、信号 S 8 2 として出力する。

40

【 0 0 7 7 】

また、ラッチ解除フラグ  $UnlatchFlg$  が “ 1 ” になると、信号 S 8 2 は “ 0 ” にリセットされる。論理積器 8 3 は、信号 S 8 2 およびアンダーフラグ  $K_{hUnderFlg}$  の双方が “ 1 ” である場合に “ 1 ” となり、それ以外の場合に “ 0 ” になる減算フラグ  $DecFlg$  を出力する。積分器 9 4 k は、減算フラグ  $DecFlg$  が “ 1 ” である場合は、積分結果 ( すなわち電圧位相調整量  $v^*$  ) を、所定の減算レートで減少させる。

50



## 【0078】

なお、図21には2種類の矢印が示されているが、V字状に開いた矢印は、「状態切替信号」または「トリガー」が伝達されることを示し、先端が黒塗り三角形の矢印は他の「信号」が伝達されることを示す。入力切替器84は、オーバーフラグK h O v e r F l gが“1”になると電圧変調率 $K_{hV1}$ を選択し、オーバーフラグK h O v e r F l gが“0”になると零値を選択し、選択した値を積分器94kに供給する。これにより、積分器94kは、オーバーフラグK h O v e r F l gが“1”になると、電圧変調率 $K_{hV1}$ を積分する。そして、積分器94kにおける積分結果は、電圧位相調整量 $v^*$ として出力される。

零値検出器64は、電圧位相調整量 $v^*$ が「0」以上の値から「0」になった場合、その旨を検出し、ワンショットのラッチ解除フラグU n l a t c h F l gを出力する。

10

## 【0079】

<実施形態の動作>

次に、図22(a)~(f)の波形図を参照し、本実施形態の動作を説明する。

なお、図22(a)は、圧縮機構部500(図3(a),(b)参照)の吐出口507における吐出圧の波形図であり、図22(b)は、最大電圧変調率 $K_{hp}$ および平均電圧変調率 $K_{ha}$ の波形図である。なお、平均電圧変調率 $K_{ha}$ とは、電圧変調率 $K_{hV1}$ を機械角一回転毎に平均した値である。図22(c)は電圧位相調整量 $v^*$ の波形図、図22(d)はオーバーフラグK h O v e r F l gの波形図、図22(e)はアンダーフラグK h U n d e r F l gの波形図、図22(f)は減算フラグD e c F l gの波形図である。

20

## 【0080】

本実施形態においては、負荷トルク $T_L$ は機械角一回転周期で脈動するため、電圧変調率 $K_{hV1}$ が変化する要因として、

- (1) 直流電圧源20(図4参照)の直流電圧E d cの変化、
- (2) 電圧指令値 $V_d^{**}$ 、 $V_q^{**}$ の直流成分(1回転中の平均値)の変化、および
- (3) 電圧指令値 $V_d^{**}$ 、 $V_q^{**}$ の交流成分の変化、

という3つの要因が考えられる。しかし、図22(a)~(f)では説明の簡略化のために、「直流電圧E d cは一定である」「電圧指令値 $V_d^{**}$ 、 $V_q^{**}$ の直流成分は一定である」と仮定する。

## 【0081】

30

より具体的には、直流電圧源20の直流電圧E d c、電動機6の回転速度、および圧縮機構部500の吸込圧は一定であり、圧縮機構部500の吐出圧が時間的に変化するものとする。吐出圧が変化すると、負荷トルク $T_L$ の振幅が変化する。すなわち、電圧指令値 $V_d^{**}$ 、 $V_q^{**}$ の交流成分が変化する。なお、厳密にはd-q軸の干渉等によって、電圧指令値の平均値も変化するが、吐出圧のみが変化する場合は、電圧指令値の交流成分の変化が支配的になるため、ここでは電圧指令値 $V_d^{**}$ 、 $V_q^{**}$ の交流成分のみが変化するものと仮定する。図22(b)の縦軸は電圧変調率であるが、直流電圧源20の直流電圧E d cが一定であれば、縦軸は電力変換回路5のスイッチングデューティと見なすこともできる。

## 【0082】

40

図22(a)においては、時刻t1から圧縮機構部500の吐出圧が上昇し始めている。吐出圧が上昇すると、これに伴って電圧指令値 $V_d^{**}$ 、 $V_q^{**}$ の交流成分も大きくなる。これにより、図22(b)においても、時刻t1に最大電圧変調率 $K_{hp}$ が上昇し始めており、時刻t2に最大電圧変調率 $K_{hp}$ は第二の判定値K h J u d 2に達している。これにより、図22(e)に示すように、アンダーフラグK h U n d e r F l gは、時刻t2において“1”から“0”に立ち下がっている。

## 【0083】

時刻t2以降も圧縮機構部500の吐出圧の上昇に伴って最大電圧変調率 $K_{hp}$ も上昇を続け、時刻t3において最大電圧変調率 $K_{hp}$ は第一の判定値K h J u d 1に達している。これは、機械角一回転中に、電圧変調率 $K_{hV1}$ が第一の判定値K h J u d 1を超える期間が生じた、ということであり、それ以降、オーバーフラグK h O v e r F l gは、機械角

50

一回転を周期として、“1”および“0”に交互に切り替わるようになる。なお、図22(e)には、状態保持器82が出力する信号S82の波形も示しておく。なお、時刻 $t_1 \sim t_3$ の区間を「区間A」と呼び、時刻 $t_3 \sim t_4$ の区間を「区間B」と呼ぶ。

【0084】

オーバーフラグ $K_{hOverFlg}$ が“1”になる期間が生じると、オーバーフラグ $K_{hOverFlg}$ のデューティ比に応じて、積分器94kにて電圧変調率 $K_{hV1}$ が積分される。従って、その積分結果である電圧位相調整量 $v^*$ は、図22(c)の区間Bの波形に示すように、徐々に上昇してゆく。

【0085】

上述したように、電圧位相調整量 $v^*$ は、印加電圧作成器19(図13参照)に供給され、電圧指令値 $V_d^{**}$ 、 $V_q^{**}$ の位相に反映される。電圧指令値 $V_d^{**}$ 、 $V_q^{**}$ の電圧位相を進めると、電動機6における誘起電圧を抑制することができる。誘起電圧を抑制すると、電動機6に供給可能な電流が増加するため、電圧飽和領域ではなく通常領域での駆動を実現することができる。従って、電流制御器14a、14bおよび脈動トルク電流指令値作成器11を継続的に動作させることができ、電動機6を安定に駆動することが可能になる。換言すると、トルク制御を適用できる速度範囲が高速側および高負荷側に拡大でき、広い動作範囲での低振動駆動を実現できる。

【0086】

図22(a)の時刻 $t_4$ において、圧縮機構部500の吐出圧の上昇が止まっている。これにより、1回転中の電圧変調率 $K_{hV1}$ の変動幅も、電圧位相調整量 $v^*$ も、ある値に収束するようになる。時刻 $t_4 \sim t_5$ の区間は、吐出圧が一定になっており、この区間を「区間C」と呼ぶ。区間Cにおいて電圧指令値 $V_d^{**}$ 、 $V_q^{**}$ の電圧位相を進めること、すなわち弱め磁束制御を行うことにより、通常領域においては、より低い電圧指令値 $V_d^{**}$ 、 $V_q^{**}$ によって必要な電流 $I_d$ 、 $I_q$ を流すことができるため、区間Cにおける電圧変調率 $K_{hV1}$ の平均電圧変調率 $K_{ha}$ は、区間Aよりも低くなっている。区間Cにおける電圧変調率 $K_{hV1}$ の時間変化の一例を図23に示す。区間Cにおいては、電圧変調率 $K_{hV1}$ の最大値は、第一の判定値 $K_{hJud1}$ 以下であり、電圧飽和領域には達しておらず、部分電圧飽和も発生していない。

【0087】

図24は、区間Cにおける電圧ベクトル軌跡の変化の状態を示す図である。

電圧ベクトル軌跡116は、区間Cにおける電圧ベクトルの軌跡であり、電圧ベクトル114は、区間Cにおける電圧ベクトルの平均値である。図示のように、電圧位相調整器60を用いることにより、電圧ベクトル114の1回転中の平均電圧角度が $Vave_1$ になっている。これにより、電圧ベクトル軌跡116は、その全体が通常領域内にとどまっている。比較のため、図10に示した電圧ベクトル104および電圧ベクトル軌跡106も図24内に破線で図示する。

【0088】

図22(a)に戻り、時刻 $t_5$ 以降は、圧縮機構部500の吐出圧が減少し始めており、これに伴って、図22(b)に示すように、最大電圧変調率 $K_{hp}$ も減少し始めている。そして、時刻 $t_6$ において、最大電圧変調率 $K_{hp}$ は第二の判定値 $K_{hJud2}$ 未満になる。これにより、図22(e)に示すように、時刻 $t_6$ において、アンダーフラグ $K_{hUnderFlg}$ が“0”から“1”に立ち上がる。時刻 $t_5 \sim t_6$ の区間を「区間D」と呼ぶ。また、図22(d)に示す信号S82は、それ以前から“1”であった。これにより、図22(f)に示すように、信号S82とアンダーフラグ $K_{hUnderFlg}$ との論理積である減算フラグ $DecFlg$ は、時刻 $t_6$ に“0”から“1”に立ち上がる。

【0089】

減算フラグ $DecFlg$ が“1”になると、積分器94kは、積分結果(すなわち電圧位相調整量 $v^*$ )を、所定の減算レートで減少させる。これにより、図22(c)に示すように、時刻 $t_6$ 以降、電圧位相調整量 $v^*$ が所定の減算レートで減少している。そして、時刻 $t_7$ において電圧位相調整量 $v^*$ は零値になっている。時刻 $t_6 \sim t_7$ の区間

10

20

30

40

50

を「区間 E」と呼び、時刻  $t_7$ 以降の区間を「区間 F」と呼ぶ。

【0090】

時刻  $t_7$ において電圧位相調整量  $v^*$ が“0”になると、零値検出器64(図21参照)がワンショットのラッチ解除フラグ  $UnlatchFlg$ を出力する。これにより、状態保持器82から出力される信号  $S82$ は、図22(d)に示すように、“0”に立ち下がる。また、図22(f)に示すように、減算フラグ  $DecFlg$ も“0”に立ち下がる。これにより、時刻  $t_7$ 以降の各部の状態は、時刻  $t_1$ 以前の状態と同様になり、通常のトルク制御が続行される。

【0091】

<実施形態の効果>

以上のように、本実施形態におけるモータ制御装置1は、直流電圧( $E_{dc}$ )を交流電圧に変換し出力することにより、負荷トルク( $T_L$ )が周期的に変動する負荷装置(9)に結合される電動機(6)を駆動する電力変換回路(5)と、前記電力変換回路(5)を駆動するドライブ信号を出力する制御部(2)と、を有し、前記制御部(2)は、前記負荷トルク( $T_L$ )に対応する周期で増減する負荷トルク対応パラメータ( $K_{hV1}$ )を演算し、前記負荷トルク対応パラメータのピーク値( $K_{hp}$ )が所定の第1の閾値( $K_{hJud1}$ )を超えると、前記電動機(6)の回転により発生する誘起電圧を抑制する弱め磁束状態で前記電力変換回路(5)を駆動するものである。

【0092】

さらに、本実施形態における制御部2は、前記弱め磁束状態で前記電力変換回路(5)を駆動している際に前記ピーク値( $K_{hp}$ )が前記第1の閾値( $K_{hJud1}$ )よりも低い第2の閾値( $K_{hJud2}$ )未満になると、前記誘起電圧を抑制しない通常状態で前記電力変換回路(5)を駆動するものである。

【0093】

さらに、本実施形態において、前記負荷トルク対応パラメータ( $K_{hV1}$ )は、前記交流電圧を指令する電圧指令値の振幅と前記直流電圧( $E_{dc}$ )との比である電圧変調率( $K_{hV1}$ )であり、前記制御部(2)は、前記電圧変調率( $K_{hV1}$ )のピーク値( $K_{hp}$ )が前記第1の閾値( $K_{hJud1}$ )以下になるように、前記電圧指令値の位相を制御するものである。

さらに、制御部2は、前記電圧変調率( $K_{hV1}$ )のピーク値( $K_{hp}$ )が前記第1の閾値( $K_{hJud1}$ )以下になるように前記電圧指令値の位相を制御する際に、前記電圧変調率( $K_{hV1}$ )の平均値を減少させるものである。

さらに、前記負荷トルク( $T_L$ )は、前記電動機(6)の機械角一回転の所定値倍の周期で変動するものである。

【0094】

これらの特徴により、本実施形態のモータ制御装置1は、負荷トルク  $T_L$ に変動が生じた場合や、直流電圧  $E_{dc}$ の変動が大きくなった場合においても、電動機6を安定して駆動制御することができる。さらに、トルク制御を適用できる速度範囲が高速側および高負荷側に拡大でき、広い動作範囲に渡って、振動、騒音を抑制することができる。

【0095】

[第2実施形態]

<実施形態の構成・動作>

次に、本発明の第2実施形態によるモータ制御システムについて説明する。

本実施形態のモータ制御システムの全体構成は、第1実施形態のもの(図1参照)と同様であるが、本実施形態においては、第1実施形態のモータ制御装置1に含まれる電圧位相調整器60(図21参照)に代えて、図25に示す電圧位相調整器60bが適用される。

【0096】

電圧位相調整器60bの構成は、第1実施形態の電圧位相調整器60と比較すると、電圧変調率  $K_{hV1}$ に代えて脈動トルク電流指令値  $I_{qs\sin^*}$ が入力信号になっている。これによ

10

20

30

40

50

り、ピークホールド回路 6 3 は、脈動トルク電流指令値  $I_{qs\sin}^*$  のピーク値である最大脈動トルク電流指令値  $I_{qs\sin p}^*$  を出力する。また、比較器 6 1 a , 6 1 b に代えて、比較器 6 1 c , 6 1 d が適用される点異なる。ここで、比較器 6 1 c は、最大脈動トルク電流指令値  $I_{qs\sin p}^*$  と第一の判定値  $I_{q\text{Jud}1}$  とを比較し、「 $I_{qs\sin p}^* > I_{q\text{Jud}1}$ 」である場合は“1”、「 $I_{qs\sin p}^* \leq I_{q\text{Jud}1}$ 」である場合は“0”になるオーバーフラグ  $I_{q\text{OverFlg}}$  を出力する。

【0097】

また、比較器 6 1 d は、最大脈動トルク電流指令値  $I_{qs\sin p}^*$  と第二の判定値  $I_{q\text{Jud}2}$  とを比較し、「 $I_{qs\sin p}^* < I_{q\text{Jud}2}$ 」である場合は“1”、「 $I_{qs\sin p}^* \geq I_{q\text{Jud}2}$ 」である場合は“0”になるアンダーフラグ  $I_{q\text{UnderFlg}}$  を出力する。なお、第二の判定値  $I_{q\text{Jud}2}$  は、第一の判定値  $I_{q\text{Jud}1}$  よりも若干低い値になっている。状態保持器 8 2 は、オーバーフラグ  $I_{q\text{OverFlg}}$  が“1”になると、そのオーバーフラグ  $I_{q\text{OverFlg}}$  の値 (“1”) を保持し続け、信号 S 8 2 として出力する。

10

【0098】

電圧位相調整器 6 0 b の上述した以外の構成は、第 1 実施形態の電圧位相調整器 6 0 と同様である。脈動トルク電流指令値  $I_{qs\sin}^*$  は、電圧変調率  $K_{hV1}$  と同様に脈動し、ピークが現れるタイミングも近いので、このように電圧変調率  $K_{hV1}$  に代えて用いることができる。

【0099】

< 実施形態の効果 >

以上のように、本実施形態におけるモータ制御装置は、第 1 実施形態のものと同様に、直流電圧 ( $E_{dc}$ ) を交流電圧に変換し出力することにより、負荷トルク ( $T_L$ ) が周期的に変動する負荷装置 (9) に結合される電動機 (6) を駆動する電力変換回路 (5) と、前記電力変換回路 (5) を駆動するドライブ信号を出力する制御部 (2) と、を有し、前記制御部 (2) は、前記負荷トルク ( $T_L$ ) に対応する周期で増減する負荷トルク対応パラメータ ( $I_{qs\sin}^*$ ) を演算し、前記負荷トルク対応パラメータのピーク値 ( $I_{qs\sin p}^*$ ) が所定の第 1 の閾値 ( $I_{q\text{Jud}1}$ ) を超えると、前記電動機 (6) の回転により発生する誘起電圧を抑制する弱め磁束状態で前記電力変換回路 (5) を駆動するものである。

20

【0100】

さらに、本実施形態においては、前記電動機 (6) は永久磁石を埋設した回転子 (6 a) と固定子 (6 b) とを有し、前記制御部 (2) は、前記永久磁石の主磁束方向を d 軸とし、前記 d 軸から回転方向に電氣的に 90 度進んだ軸を q 軸とし、前記 q 軸に流れる電流の脈動成分である脈動トルク電流指令値 ( $I_{qs\sin}^*$ ) を計算するものであり、前記負荷トルク対応パラメータは、前記脈動トルク電流指令値 ( $I_{qs\sin}^*$ ) である。

30

【0101】

かかる特徴により、本実施形態においては、第 1 実施形態のものと同様に、広い動作範囲に渡って、振動、騒音を抑制することができる。

さらに、本実施形態においては、電流指令値  $I_d^*$  ,  $I_q^*$  を演算するループ内で、弱め磁束制御を実現できるので、印加電圧作成器 1 9 (図 1 1 参照) において電圧位相を変更する必要がなくなり、第 1 実施形態のものよりも少ない演算量で弱め磁束制御を実現できる。

40

【0102】

[ 第 3 実施形態 ]

< 実施形態の構成 >

次に、本発明の第 3 実施形態によるモータ制御システムについて説明する。

本実施形態のモータ制御システムの全体構成は、第 1 実施形態のもの (図 1 参照) と同様であるが、本実施形態においては、第 1 実施形態の電圧位相調整器 6 0 (図 2 1 参照) に代えて、図 2 6 に示す電圧位相調整器 6 0 c が適用される。

【0103】

50

電圧位相調整器 60c は、電圧変調率  $K_{hV1}$  を入力信号としているが、出力信号は d 軸電流指令値  $I_d^*$  である。すなわち、電圧位相調整器 60c が出力する d 軸電流指令値  $I_d^*$  は、電圧指令値演算部 34 (図 11、図 12 参照) に入力される。

また、電圧位相調整器 60c においては、電圧変調率  $K_{hV1}$  の入力端子と入力切替器 84 との間に減算器 91k が挿入されている。減算器 91k は、電圧変調率  $K_{hV1}$  から第三の判定値  $K_{hJ u d 3}$  を減算する。なお、第三の判定値  $K_{hJ u d 3}$  は第一の判定値  $K_{hJ u d 1}$  と同じ値であってもよく、異なってもよい。積分器 94k は、入力切替器 84 を介して供給された信号の負値を積分し、積分結果を d 軸電流指令値  $I_d^*$  として出力する。

#### 【0104】

本実施形態によれば、積分器 94k は、入力切替器 84 において減算器 91k が選択されると、「電圧変調率  $K_{hV1}$  が第三の判定値  $K_{hJ u d 3}$  を超えた値」の負値を積分する。これにより、積分を開始する電圧変調率  $K_{hV1}$  と、実際に積分に使用する被積分値とを異ならせることができ、様々な電圧変調率  $K_{hV1}$  の変化に対応することが可能になる。また、本実施形態においては、第 1 実施形態の電力変換回路 5 (図 5 参照) に代えて、図 27 に示す電力変換回路 5a が適用される。

#### 【0105】

図 27 において、直流電圧源 30 は、商用電源等の交流電圧源 26 の交流電圧を全波整流する整流回路 27 と、整流回路 27 の出力端子に並列に接続された、電界コンデンサ等の平滑コンデンサ 28 とを有している。電力変換回路 5a の上記以外の構成は、第 1 実施形態の電力変換回路 5 のものと同様である。本実施形態においては、直流電圧  $E_{dc}$  には、交流電圧源 26 のリップル電圧が重畳する。すなわち、図 27 のように単相交流電圧源を用いた場合は電源周波数の 2 倍、三相交流電圧源を用いた場合は電源周波数の 6 倍の周波数のリップル電圧が直流電圧  $E_{dc}$  に重畳する。

#### 【0106】

##### < 実施形態の動作 >

次に、図 28 (a) ~ (f) の波形図を参照し、本実施形態の動作を説明する。

なお、図 28 (a) は、直流電圧  $E_{dc}$  の波形図であり、図 28 (b) は、最大電圧変調率  $K_{hp}$  および平均電圧変調率  $K_{ha}$  の波形図、図 28 (c) は d 軸電流指令値  $I_d^*$  の波形図、図 28 (d) はオーバーフラグ  $K_{hO v e r F l g}$  の波形図、図 28 (e) はアンダーフラグ  $K_{hU n d e r F l g}$  の波形図、図 28 (f) は減算フラグ  $D e c F l g$  の波形図である。

また、図 28 (a) ~ (f) においては、電動機 6 の回転速度、圧縮機構部 500 の吸込圧および吐出圧は一定であり、直流電圧源 20 の直流電圧  $E_{dc}$  が変化すると仮定して説明する。

#### 【0107】

前述のように、電圧変調率  $K_{hV1}$  は、電圧指令値  $V_d^*$ 、 $V_q^*$  の振幅すなわち  $(V_d^{*2} + V_q^{*2})$  と、直流電圧  $E_{dc}$  との比であるため、直流電圧  $E_{dc}$  に含まれるリップル電圧によって、電圧変調率  $K_{hV1}$  は変化する。すなわち、電動機 6 の回転速度、圧縮機構部 500 の吸込圧および吐出圧が一定であって電圧指令値  $V_d^*$ 、 $V_q^*$  が変化しなかったとしても、図 28 (a) の区間 A に示すように、直流電圧  $E_{dc}$  にはリップル電圧が重畳し、最大電圧変調率  $K_{hp}$  と平均電圧変調率  $K_{ha}$  との間に差が生じる。

#### 【0108】

リップル電圧の振幅値は、平滑コンデンサ 28 の容量によって大きく影響を受ける。すなわち、平滑コンデンサ 28 の容量を大きくするほど、リップル電圧の振幅を小さくできる。その反面、平滑コンデンサ 28 の体積は容量に応じて大きくなる。したがって、リップル電圧が大きい場合においても、安定にモータを駆動できれば、電力変換回路 5a を小型にすることができる。

#### 【0109】

図 28 (a) においては、時刻  $t1$  以降、交流電圧源 26 の交流電圧が低下したことを

10

20

30

40

50

想定している。交流電圧が低下したことにより、図28(b)に示すように、最大電圧変調率 $K_{hp}$ および平均電圧変調率 $K_{ha}$ が上昇している。時刻 $t_{13}$ においては、交流電圧がさらに低下したことにより、最大電圧変調率 $K_{hp}$ が第一の判定値 $K_{hJud1}$ を超えており、オーバーフラグ $K_{hOverFlg}$ が“1”または“0”に振動するようになり、信号 $S_{82}$ は“1”になる。これにより、図26に示す入力切替器84は、減算器91kの出力信号を選択するようになり、「電圧変調率 $K_{hV1}$ が第三の判定値 $K_{hJud3}$ を超えた値」が積分器94kに入力され、積分器94kでは、その負値が積分される。

#### 【0110】

積分器94kの積分結果は、d軸電流指令値 $I_d^*$ として出力されるため、図28(c)に示すように、時刻 $t_{13}$ 以降、d軸電流指令値 $I_d^*$ が負の方向の増加し、これによって電圧指令値 $V_d^*$ 、 $V_q^*$ の位相が進む。電圧指令値 $V_d^*$ 、 $V_q^*$ の位相が進むと、これによって電動機6に流れる電流の位相も進み、電動機6における誘起電圧を減少させることができる。これにより、駆動領域を、電圧飽和領域から通常領域に変えることができる。

10

#### 【0111】

図28(a)の時刻 $t_{15}$ においては、交流電圧源26の交流電圧が上昇し始め、それに伴って、図28(b)に示すように、最大電圧変調率 $K_{hp}$ および平均電圧変調率 $K_{ha}$ が減少し始める。そして、時刻 $t_{16}$ においては、最大電圧変調率 $K_{hp}$ が第二の判定値 $K_{hJud2}$ を下回り、これによって図28(c)に示すように、時刻 $t_{16}$ 以降はd軸電流指令値 $I_d^*$ の絶対値が減少している。これにより、電圧指令値 $V_d^*$ 、 $V_q^*$ の位相も基に戻る方向に変化してゆく。そして、時刻 $t_{17}$ においては、d軸電流指令値 $I_d^*$ が零値に戻るため、零値検出器64(図26参照)がワンショットのラッチ解除フラグ $UnlatchFlg$ を出力する。これにより、状態保持器82から出力される信号 $S_{82}$ は、図28(d)に示すように、“0”に立ち下がり、図22(f)に示す減算フラグ $DecFlg$ も“0”に立ち下がる。時刻 $t_{17}$ 以降の各部の状態は、時刻 $t_{11}$ 以前の状態と同様になり、通常のトルク制御が続行される。

20

#### 【0112】

以上のように、本実施形態によれば、第1、第2実施形態と同様に、電流制御器14a、14bおよび脈動トルク電流指令値作成器11を継続して動作させることができる。すなわち、負荷トルク $T_L$ の変動や、直流電圧 $E_{dc}$ の変動が大きい場合においても、電動機6を安定して駆動することができ、振動、騒音を低減することができる。さらに、本実施形態によれば、リップル電圧が大きい場合においても、安定して電動機6を駆動できるので、平滑コンデンサ28の容量を小さくすることができ、電力変換回路5aを小型にすることができる。

30

#### 【0113】

##### [第4実施形態]

次に、図29に示す模式図を参照し、本発明の第4実施形態による流体機械302の構成を説明する。

図29に示す流体機械302においては、動力源である電動機6と圧縮機構部500とが、密閉容器511の中に配置されている。電動機6の回転子6aに接続されている。そして、電動機6は、配線ケーブル310を介してモータ制御装置301に接続されている。シャフト502とロータリーピストン501とは、クランクシャフト503を介して接続されている。

40

#### 【0114】

クランクシャフト503の下端は、軸受け510によって支持されている。密閉容器511の底部には潤滑油が貯溜されており、軸受け510および圧縮機構部500を潤滑する。シャフト502の上端部には、バランスウェイト512が付加されており、ロータリーピストン501の偏心による重量のアンバランスを緩和している。これにより、電動機6の回転に応じてロータリーピストン501が偏心して回転し、吸込み、圧縮、吐出、といった一連の工程を行う。なお、圧縮機構部500の断面形状は、第1実施形態のもの(図2(b)参照)と同様である。

50

## 【0115】

吸込みパイプ508は吸込み口505（図2（b）参照）に接続され、吐出パイプ509は、密閉容器511の内部の空間を介して吐出口507にそれぞれ接続されており、流体機械302に接続される外部のシステムとの間で冷媒を循環する。但し、流体機械302は、圧縮機に限られるものではなく、周期的に変動する負荷トルク特性を有するモータ制御装置（例えば、ポンプなど）にも適用可能であり、圧縮機に適用した場合と同様の効果があることは言うまでもない。

## 【0116】

圧縮機構部500によって生じる負荷トルク $T_L$ の変化パターンは、たとえ同じ圧縮機構部500を用いたとしても、電動機6の回転速度、吸込み口505や吐出口507の圧力（吸込み圧および吐出圧）、吸込み口505と吐出口507の圧力比等によって異なる。すなわち、負荷トルク $T_L$ のピーク値、ピーク値となる回転角度位置、負荷トルクの増減変化波形等が変化する。従って、本実施形態は、トルク変化のパターン変化によって電圧ベクトル軌跡（特に部分電圧飽和状態での軌跡）が変化した場合であっても、安定に電動機6を駆動制御可能なモータ制御装置を実現しようとするものである。

## 【0117】

モータ制御装置301の機能構成は、第1実施形態のモータ制御装置1（図1参照）と同様である。但し、第1実施形態の電圧位相調整器60（図21参照）に代えて、本実施形態においては、図30に示す電圧位相調整器60dが適用される。電圧位相調整器60dの構成は第1実施形態の電圧位相調整器60と同様であるが、入力切替器84と積分器94kとの間に比例器85が挿入されている点が異なる。比例器85は、入力された信号に電圧位相調整積分ゲイン $K_{i\_}$ を乗算した後に積分器94kに供給する。ここで、電圧位相調整積分ゲイン $K_{i\_}$ は、周波数指令値 $\omega^*$ 、インバータ周波数指令値 $\omega_1$ （以下、これらを総称して「回転速度」という）または吐出温度 $T_c$ に基づいて決定される。

## 【0118】

図31は、電圧位相調整積分ゲイン $K_{i\_}$ の第1の設定例を示す図である。図31の例では、回転速度が高い領域では電圧位相調整積分ゲイン $K_{i\_}$ が高くなり、回転速度が低くなる領域では電圧位相調整積分ゲイン $K_{i\_}$ も低くなるように設定される。そこで、その理由を説明しておく。式（1）および式（2）から明らかのように、回転速度（式中の $\omega_1$ ）が高くなるほど、d軸、q軸電圧指令値 $V_d^*$ 、 $V_q^*$ は高くなる。すなわち、回転速度が高くなると、平均電圧変調率 $K_{ha}$ は高くなるため、平均電圧変調率 $K_{ha}$ と第一の判定値 $K_{hjud1}$ との差が小さくなる。従って、電圧位相調整積分ゲイン $K_{i\_}$ を高くする（高応答化すること）ことで最大電圧変調率 $K_{hp}$ の変化に電圧位相調整量 $v^*$ を高速に応答させることができるようになり、部分電圧飽和状態から通常領域への変移が短時間で実現できるようになる。この結果、電動機6を安定して駆動制御することができる。一方、回転速度が低い領域では、電圧位相調整積分ゲインを低くする（低応答化すること）により、電圧位相調整量 $v^*$ が過度に調整されないようにすることができ、最適な電圧位相近傍で、安定して電動機6を駆動制御することができ、振動、騒音を低減できるようになる。

## 【0119】

図32は、電圧位相調整積分ゲイン $K_{i\_}$ の第2の設定例を示す図である。図32の例では、吐出口507（図2（b）参照）における吐出圧または吐出温度 $T_c$ に応じて電圧位相調整積分ゲインを変更する。吐出圧は、トルク変化のパターンを決める主要要素の一つである。吐出圧を直接測定してもよいが、吐出圧の測定が難しい場合は、吐出パイプ509と密閉容器511との境界部分、または吐出口507に温度センサを設置し、その温度変化から間接的に吐出圧を推定するとよい。吐出圧が高いと平均電圧変調率 $K_{ha}$ は高くなるため、平均電圧変調率 $K_{ha}$ と第一の判定値 $K_{hjud1}$ との差が小さくなる。従って、電圧位相調整積分ゲイン $K_{i\_}$ を高くする（高応答化すること）ことで吐出圧の変化に電圧位相調整量 $v^*$ を高速に応答させることができるようになり、部分電圧飽和状

10

20

30

40

50

態から通常領域への変移が短時間で実現できるようになる。これにより、最適な電圧位相近傍で、安定して電動機 6 を駆動制御することができ、振動、騒音を低減できるようになる。

#### 【0120】

また、回転速度に応じて変調率判定値（第一の判定値  $K_{hJ u d 1}$  および第二の判定値  $K_{hJ u d 2}$  のうち、少なくとも 1 つ）を変更するようにしてもよい。図 33 は、回転速度に応じて変調率判定値を変化させる際の設定例を示す。前述の通り、回転速度が高い領域では、平均電圧変調率  $K_{ha}$  は高くなるため、平均電圧変調率  $K_{ha}$  と第一の判定値  $K_{hJ u d 1}$  との差が小さくなる。そこで、第一の判定値  $K_{hJ u d 1}$  を回転速度の増加に応じて下げることにより、電圧位相調整量  $v^*$  を早めに調整できるようになる。この結果、安定にモータを駆動制御することができ、振動、騒音を抑制することができる。

10

#### 【0121】

また、吐出圧または吐出温度  $T_c$  に応じて、変調率判定値を変更するようにしてもよい。図 34 は、吐出圧または吐出温度  $T_c$  に応じて変調率判定値を変化させる際の設定例を示す。負荷トルク  $\tau_L$  が高くなるほど平均電圧変調率  $K_{ha}$  は高くなるため、平均電圧変調率  $K_{ha}$  と第一の判定値  $K_{hJ u d 1}$  との差が小さくなる。そこで、第一の判定値  $K_{hJ u d 1}$  を吐出圧または吐出温度  $T_c$  の増加に応じて下げることにより、電圧位相調整量  $v^*$  を早めに調整できるようになる。この結果、安定にモータを駆動制御することができ、振動、騒音を抑制することができる。

20

#### 【0122】

##### [第5実施形態]

次に、図 35 に示す模式図を参照し、本発明の第 5 実施形態による流体機械 302a の構成を説明する。

図 35 に示す流体機械 302a においては、動力源である電動機 6 とレシプロ型圧縮機構部 600 とが、密閉容器 611 の中に配置され、電動機 6 を動力源としてピストン 601 を駆動し、これにより、圧縮動作を行う。電動機 6 のシャフト 602 には、クランクシャフト 603 が接続され、電動機 6 の回転運動を直線運動に変換している。電動機 6 の回転に応じて、ピストン 601 も動作し、吸込み、圧縮、吐出、といった一連の工程を行う。圧縮機構の工程では、まずシリンダ 604 に設けられた吸込み口 605 から冷媒を吸い込む。その後、弁 606 を閉じて圧縮を行い、吐出口 607 から圧縮した冷媒を吐出する。また、電動機 6 は、配線ケーブル 610 を介してモータ制御装置 301a に接続されている。

30

#### 【0123】

一連の工程において、ピストン 601 にかかる圧力が変化する。これは、ピストンを駆動する電動機 6 から見ると、周期的に負荷トルク  $\tau_L$  が変化していることを意味する。図 36 は、機械角一回転における、回転子 6a の回転角度位置に対する負荷トルク  $\tau_L$  の変化の例を示している。図 36 では、電動機 6 として 4 極モータの例を示しているため、電気角 2 周期が機械角 1 周期に相当する。回転子 6a の位置とピストン 601 との位置関係は組み付けによって決まるが、図 36 ではピストン 601 の下死点が機械角の  $0^\circ$  として、回転角度位置（ピストン位置）に対する負荷トルク  $\tau_L$  の変化を示している。

40

#### 【0124】

圧縮工程が進むにつれ負荷トルク  $\tau_L$  が大きくなり、吐出工程では、急激に負荷トルク  $\tau_L$  が小さくなるのが特徴的である。図 36 から、1 回転中において負荷トルク  $\tau_L$  が変動している事が分かる。回転する度に負荷トルク  $\tau_L$  が変動するため、電動機 6 から見ると周期的に負荷トルク  $\tau_L$  が変動していることになる。

#### 【0125】

モータ制御装置 301a の機能構成は、第 1 実施形態のモータ制御装置 1（図 1 参照）と同様である。但し、第 1 実施形態の電圧位相調整器 60（図 21 参照）に代えて、本実施形態においては、図 37 に示す電圧位相調整器 60e が適用される。電圧位相調整器 60e は、第 1 実施形態の電圧位相調整器 60 と同様の構成を有しているが、積分器 94k

50



の後段に位置依存比例器 6 2 が挿入されている点異なる。

【 0 1 2 6 】

位置依存比例器 6 2 は、図 3 6 に示した負荷トルク  $T_L$  の変化のように、所定の回転角度範囲において負荷トルク  $T_L$  が急変する場合に、比例ゲインを調整する。回転角度位置（機械角）としては、脈動トルク電流指令値作成器 1 1（図 1 9 参照）の乗算器 9 2 o から出力される推定機械角度位置  $\theta_r$  を用いるとよい。位置依存比例器 6 2 は、通常は 0 dB のゲインが設定されるが、推定機械角度位置  $\theta_r$  が所定の範囲内にある場合には、0 dB よりも大きなゲインが設定される。

【 0 1 2 7 】

以上のように、本実施形態によれば、制御部 2 は、電圧指令値の位相を、電動機 6 の機械角一回転の所定値倍（本実施形態では 1 倍）の周期で変動させるので、負荷トルク  $T_L$  が所定の回転角度範囲において急変する場合に、電圧位相調整量  $\theta_v^*$  を大きくすることができ、モータを安定に駆動制御することができる。

【 0 1 2 8 】

[ 第 6 実施形態 ]

次に、図 3 8 に示す模式図を参照し、本発明の第 6 実施形態による空気調和機 3 0 0 の構成を説明する。

図 3 8 において、空気調和機 3 0 0 は、室内機 3 0 3 と室外機 3 0 4 とを有している。室内機 3 0 3 と室外機 3 0 4 とは、配管 3 0 5 を介して接続され、配管内を冷媒が流れることで冷凍サイクルを形成している。室内機 3 0 3 は、熱交換器 3 0 6 と送風機 3 0 7 とを有している。また、室外機 3 0 4 は、熱交換器 3 0 8、送風機 3 0 9、流体機械 3 0 2、モータ制御装置 3 0 1 を有している。モータ制御装置 3 0 1 と流体機械 3 0 2 とは、配線ケーブル 3 1 0 で接続されている。なお、モータ制御装置 3 0 1、配線ケーブル 3 1 0 および流体機械 3 0 2 は、第 2 実施形態（図 2 9 参照）に示したものと同様である。

【 0 1 2 9 】

空気調和機 3 0 0 は、室内機 3 0 3 と室外機 3 0 4 の間に冷媒を流通させ、室内機 3 0 3 の熱交換器 3 0 6 により、冷風または温風を室内に送風する。このような構成において、流体機械 3 0 2 には、機械角一回転毎、または負荷の特性によって生じる脈動トルクが存在する。また、冷房運転や暖房運転といった運転モードによって脈動トルクのパターンは変わる。空気調和機においては、地球温暖化や電気代削減のために、省エネルギー化が強く望まれている。そのため、流体機械 3 0 2 をインバータで駆動して可変速にすることで、冷凍サイクルの起動停止によるロスを削減することが一般的となっている。

【 0 1 3 0 】

さらに、住宅の断熱性能の向上により、一旦室内の温度が設定値に至ると、後は空気調和機の能力を最小化して動作し続けることが望まれている。その一方で、快適性を向上するために、短時間で室温が設定温度に達することが望まれている。そのためには、圧縮機を高速駆動し冷媒循環量を増やすことが望ましい。高速駆動の際は、負荷変動も大きくなるため、電動機 6 の負荷変動が大きい場合においても、安定にモータを駆動制御することが望ましい。

【 0 1 3 1 】

図 3 9 は、本実施形態における電圧位相調整積分ゲイン  $K_{i\_V}$  の設定例を示す図である。図 3 9 の例では、空気調和機の運転モードに応じて電圧位相調整積分ゲインを変更する。冷房運転と暖房運転では、回転速度、吸込圧、吐出圧は異なる。すなわち、負荷トルク  $T_L$  の変化の仕方が異なる。そこで、運転モードに応じて電圧位相調整積分ゲイン  $K_{i\_V}$  を変更することにより、様々な運転モードにおいても安定にモータを駆動制御することができ、振動、騒音を抑制できる。

【 0 1 3 2 】

図 4 0 は、回転速度に応じて変調率判定値（第一の判定値  $K_{h\_J\_u\_d\_1}$  および第二の判定値  $K_{h\_J\_u\_d\_2}$  のうち、少なくとも 1 つ）を変更する例を示す図である。空気調和機 3 0 0 は運転時間が長いため、運転中に電源電圧が変動することが考えられる。前述の通り

10

20

30

40

50

、電源電圧は電圧変調率  $K_{hV1}$  に影響を与える。電源電圧が低下した場合は、平均電圧変調率  $K_{ha}$  は高くなるため、第一の判定値  $K_{hJd1}$  との差が小さくなる。そこで、第一の判定値  $K_{hJd1}$  または第二の判定値  $K_{hJd2}$  を回転数の増加に応じて下げることにより、早めに電圧位相を調整できるようになる。この結果、安定にモータを駆動制御することができ、振動、騒音を抑制できる。

【0133】

[第7実施形態]

次に、本発明の第7実施形態による検証システムについて説明する。

上述の第1～第6実施形態に適用されたモータ制御装置は、マイクロコンピュータやDSPなどの半導体集積回路によって構成され、ソフトウェア等で実現していることが多い。そのため、これらモータ制御装置が正しく構成されているか、検証することが難しくなるという課題がある。そこで、本実施形態においては、第1～第6実施形態の構成が正しく動作しているかを検証する検証システムを提供するものである。

【0134】

図41は、本実施形態による検証システムのブロック図である。

図41において、電動機6には、回転子6aの磁極の位置、すなわち回転角度位置  $\theta$  を直接的に検出する磁極位置センサ194が装着されている。磁極位置センサ194は、電動機6のシャフト502(図2、図29参照)に、エンコーダ等を用いた角度センサを装着することによって実現できる。また、電力変換回路5の内部においては、シャント抵抗25の両端の電圧を測定する電圧検出器192が設けられている。また、第1実施形態に適用されていた直流電圧源20に代えて、本実施形態においては、電圧を増減できる可変直流電圧源30が適用される。

【0135】

電力変換回路5と電動機6との間の各相の結線には、計器用変流器191a, 191b, 191cと、電圧計193a, 193b, 193cとが挿入されている。これらの電圧計は、各相の電位と、可変直流電圧源30のN(マイナス)側との電位との差を各相の電圧として検出する。なお、計器用変流器191a, 191b, 191cは、電流検出部7よりも高精度のものである。

【0136】

さらに、本実施形態においては、検証装置190が設けられている。その内部に設けられた3/dq変換器195は、上記計器用変流器191a, 191b, 191cを介して電動機6の各相に供給される電流  $I_u, I_v, I_w$  を検出するとともに、電圧検出器192の測定結果をシャント抵抗25の抵抗値で除算し、電流値を求める。また、電圧判定部197は、電圧計193a, 193b, 193cを介して、電動機6の各相の交流電圧  $V_u, V_v, V_w$  を取得する。また、速度変換部198は、回転角度位置  $\theta$  に基づいて、回転速度を求める。

【0137】

さらに、電圧判定部197は、各相のドライブ信号(ゲート信号)を、制御部2またはゲートドライバ回路23の基準電位からの電位差によって検出する。3/dq変換器195は、電流  $I_u, I_v, I_w$  またはシャント抵抗25に流れる電流値と、回転角度位置  $\theta$  (磁極位置)とが供給されると、下式(8)に基づいて、三相軸上の電流をd-q軸上の電流  $I_d, I_q$  に変換する。

【数3】

$$\begin{bmatrix} I_d \\ I_q \end{bmatrix} = \frac{2}{3} \begin{bmatrix} \cos\theta_d & \sin\theta_d \\ -\sin\theta_d & \cos\theta_d \end{bmatrix} \begin{bmatrix} 1 & -\frac{1}{2} & -\frac{1}{2} \\ 0 & +\frac{\sqrt{3}}{2} & -\frac{\sqrt{3}}{2} \end{bmatrix} \begin{bmatrix} I_u \\ I_v \\ I_w \end{bmatrix} \dots (8)$$

【0138】

10

20

30

40

50

電流判定部 196 は、q 軸電流  $I_q$  が適切であるか否かを判定する。電圧判定部 197 においては、各相の交流電圧  $V_U, V_V, V_W$  のうち少なくとも 2 相以上の電圧から、回転数 1 次成分の振幅と位相とが求められる。そして、各電圧の位相と、電動機 6 の回転角度位置  $\theta_d$  とが比較され、両者の差が検出される。仮に、制御部 2 が所望の動作を行っている場合は、負荷の変化が大きい期間において、電圧の位相が変化するはずである。このように、回転角度位置  $\theta_d$ 、各相の交流電流  $I_U, I_V, I_W$ 、交流電圧  $V_U, V_V, V_W$ 、電動機 6 に流れる電流およびドライブ信号等を測定することにより、第 1 ~ 第 6 実施形態の制御部 2 が所期の動作を行っているか否かを検証することができる。

また、可変直流電圧源 30 の電圧を図 28 のように変化させ、電圧の振幅と位相の変化を測定することにより、第 1 ~ 第 6 実施形態の制御部 2 が所期の動作を行っているか否かを検証することができる。

【0139】

[変形例]

本発明は上述した実施形態に限定されるものではなく、種々の変形が可能である。上述した実施形態は本発明を理解しやすく説明するために例示したものであり、必ずしも説明した全ての構成を備えるものに限定されるものではない。また、ある実施形態の構成の一部を他の実施形態の構成に置き換えることが可能であり、また、ある実施形態の構成に他の実施形態の構成を加えることも可能である。また、各実施形態の構成の一部について削除し、若しくは他の構成の追加・置換をすることが可能である。上記実施形態に対して可能な変形は、例えば以下のようなものである。

【0140】

(1) 上記各実施形態においては、電動機 6 は回転子に永久磁石を有する永久磁石同期モータを用いた例で説明したが、その他各種の電動機（例えば、誘導機、同期機、スイッチトリラクタンスモータ、シンクロナスリラクタンスモータなど）を電動機 6 として適用してもよい。その際、電動機の種類によってはトルク電流指令値作成器 10 等での演算方法が変わるが、それ以外については同様に適用でき、本発明の目的を達成可能である。

【0141】

(2) 上記各実施形態においては、負荷装置 9 として、回転ロータリー型の圧縮機構部 500 やレシプロ型圧縮機構部 600 を適用した例を説明したが、負荷装置 9 は、スクロール型など他の圧縮方式の圧縮機構部を適用してもよく、ポンプ等に適用することも可能である。

【0142】

(3) 上記各実施形態において、インバータ周波数指令値  $f_1$  を用いていた箇所（例えば図 19 に示す脈動トルク電流指令値作成器 11）においては、インバータ周波数指令値  $f_1$  に代えて、周波数指令値  $f^*$  を用いてもよい。

【0143】

(4) 上記各実施形態においては、「負荷トルク対応パラメータ」の例として、電圧変調率  $K_{hv1}$  または脈動トルク電流指令値  $I_{qsin}^*$  を適用した例を説明したが、これら以外にも負荷トルク  $T_L$  に対応する周期で増減するパラメータを「負荷トルク対応パラメータ」として用いてもよい。

【0144】

(5) 上記各実施形態に用いた負荷トルク  $T_L$  は、空気調和機の室内機と室外機の風速や、室外機や室内機の周辺温度によっても変化する。そのため、これらの情報に基づいて第一 ~ 第三の判定値  $K_{hjud1} \sim K_{hjud3}$  等の設定を変更してもよい。

【0145】

(6) 上記第 3 実施形態の電圧位相調整器 60c（図 26）においては、電圧変調率  $K_{hv1}$  に基づいて d 軸電流指令値  $I_d^*$  を操作したが、脈動トルク電流指令値  $I_{qsin}^*$  に基づいて d 軸電流指令値  $I_d^*$  を制御するようにしてもよい。

【0146】

(7) 上記各実施形態においては、電動機 6 と負荷装置 9 とは直結されていたが、電動機

10

20

30

40

50

6 と負荷装置 9 との間に変速機を挿入してもよい。この場合、負荷トルク  $T_L$  は、電動機 6 の機械角一回転を周期として変動するのではなく、機械角一回転の所定値（例えば減速比）倍で変動することになる。

【0147】

(8) 上記各実施形態において図 1 1、図 1 2、図 2 1 等に示した処理は、コンピュータおよび DSP によって実現できるため、これらの処理の内容を記述したプログラム等を記憶媒体に格納し、または伝送路を介して頒布してもよい。

【0148】

(9) 上記各実施形態において図 1 1、図 1 2、図 2 1 等に示した処理は、上記各実施形態では CPU 用のプログラムまたは DSP 用のマイクロプログラムを用いたソフトウェア的な処理として説明したが、その一部または全部を ASIC (Application Specific Integrated Circuit; 特定用途向け IC)、あるいは FPGA (field-programmable gate array) 等を用いたハードウェア的な処理に置き換えてもよい。

【符号の説明】

【0149】

- 1 モータ制御装置
- 2 制御部
- 4  $d$  軸電流制御器
- 8  $q$  軸電流制御器
- 5, 5a 電力変換回路
- 6 電動機
- 6a 回転子
- 6b 固定子
- 7 電流検出部
- 9 負荷装置
- 10 トルク電流指令値作成器
- 11 脈動トルク電流指令値作成器
- 12 軸誤差演算器
- 13 PLL 制御器
- 14a  $d$  軸電流制御器
- 14b  $q$  軸電流制御器
- 14a, 14b 電流制御器
- 16 脈動トルク推定器
- 17 圧縮機
- 19 印加電圧作成器
- 20 直流電圧源
- 30 可変直流電圧源
- 302, 302a 流体機械
- 306 熱交換器
- 308 熱交換器
- E d c 直流電圧
- $G_n, G_p$  ドライブ信号
- $I_d^*, I_q^*$  電流指令値
- $I_{dc}, I_{qc}$  電流検出値
- $I_{tq}^*$  トルク電流指令値
- $I_{qs in}^*$  脈動トルク電流指令値 (負荷トルク対応パラメータ)
- $I_{qs in p}^*$  最大脈動トルク電流指令値
- $I_{q J u d 1}$  第一の判定値 (第 1 の閾値)
- $I_{q J u d 2}$  第二の判定値 (第 2 の閾値)
- $K_e$  誘起電圧定数

10

20

30

40

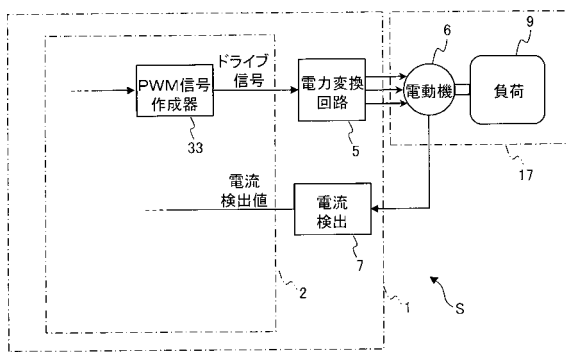
50

- $K_{ha}$  平均電圧変調率
- $K_{hp}$  最大電圧変調率（ピーク値）
- $K_{hv1}$  電圧変調率（負荷トルク対応パラメータ）
- $K_{hJd1}$  第一の判定値（第1の閾値）
- $K_{hJd2}$  第二の判定値（第2の閾値）
- $K_{hJd3}$  第三の判定値
- $V_1$  電圧指令値振幅
- $V_d^*, V_q^*$  電圧指令値
- $V_d^{**}, V_q^{**}$  電圧指令値
- S モータ制御システム
- Tc 吐出温度
- L 負荷トルク
- m モータ発生トルク
- d 回転角度位置
- dc 推定回転角度位置
- r 推定機械角度位置
- e 電気速度
- r 機械速度
- c 推定軸誤差
- d 軸誤差
- m 差トルク
- $m^{\wedge}$  差トルク推定値
- $v^*$  電圧位相調整量

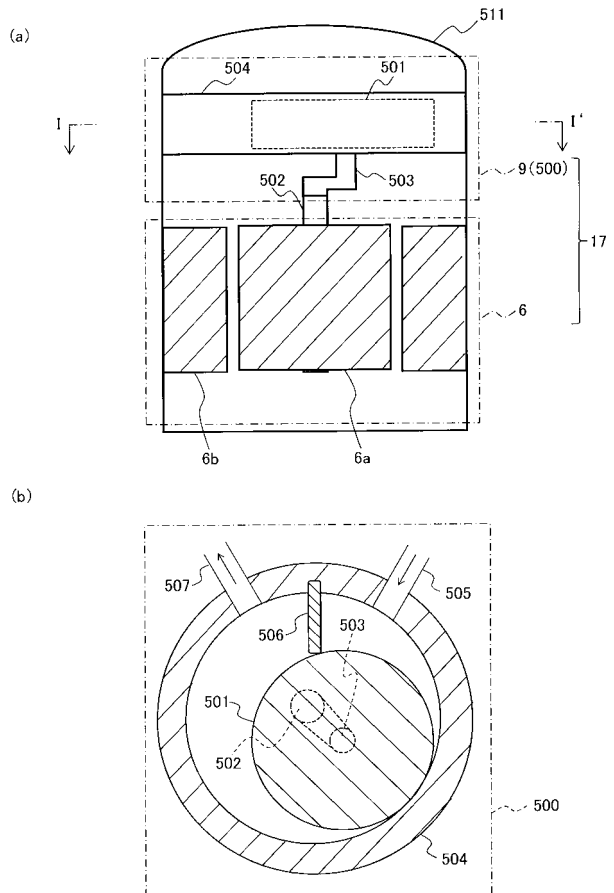
10

20

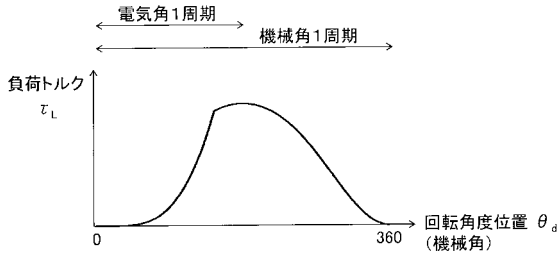
【図1】



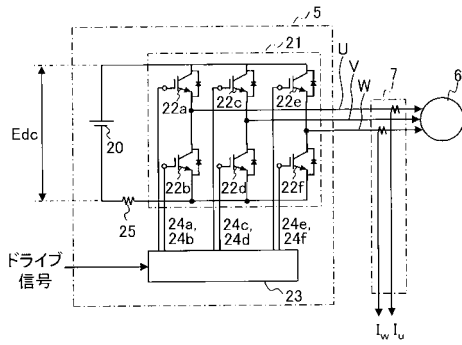
【図2】



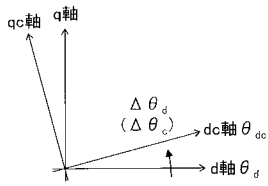
【 図 3 】



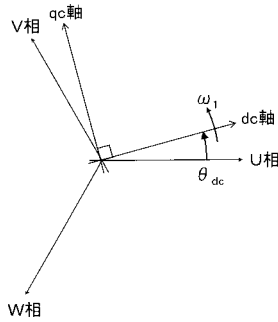
【 図 4 】



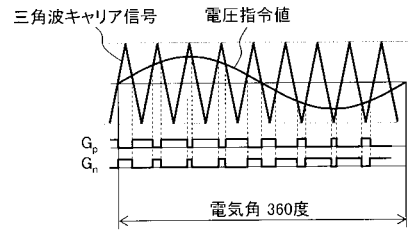
【 図 7 】



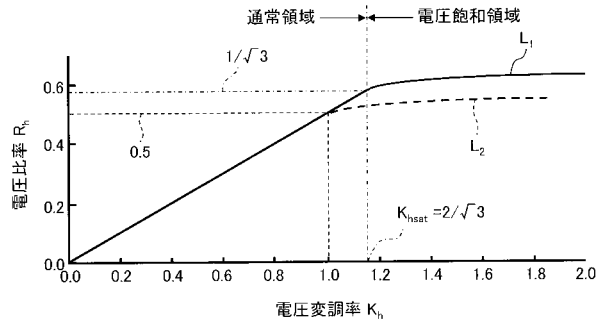
【 図 8 】



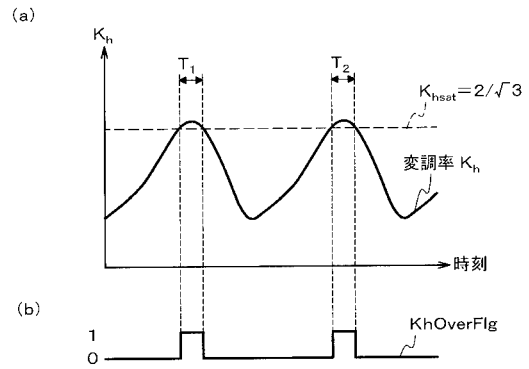
【 図 5 】



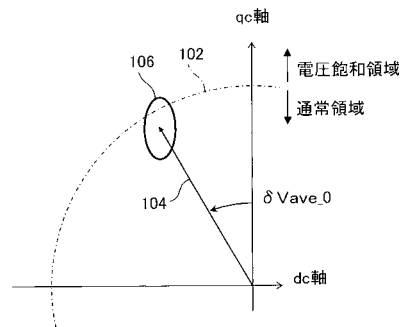
【 図 6 】



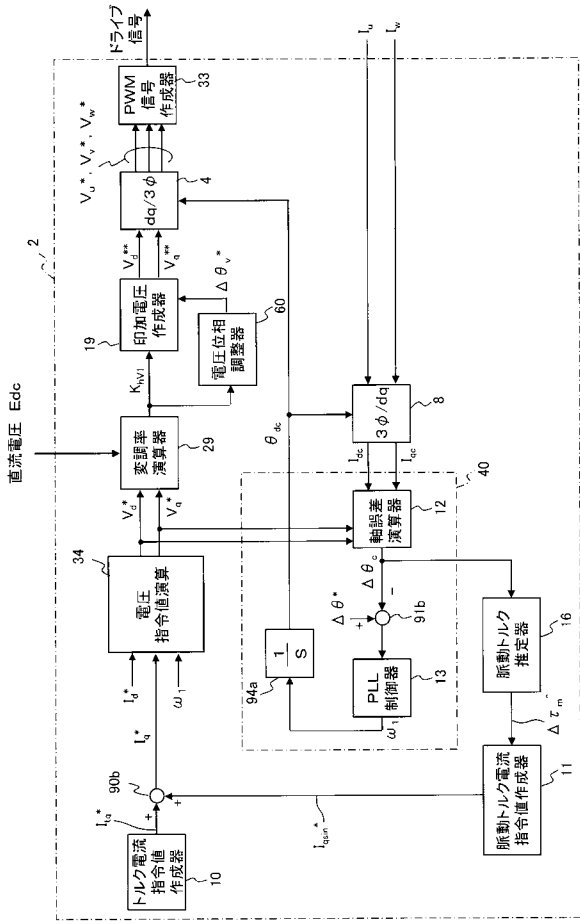
【 図 9 】



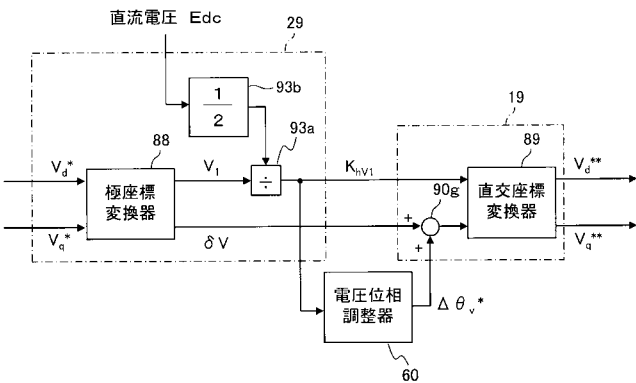
【 図 10 】



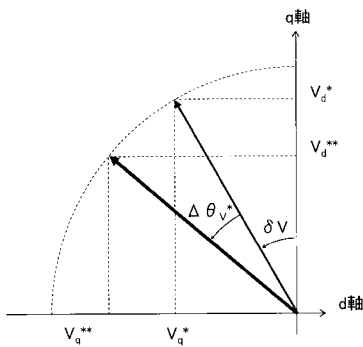
【図 1 1】



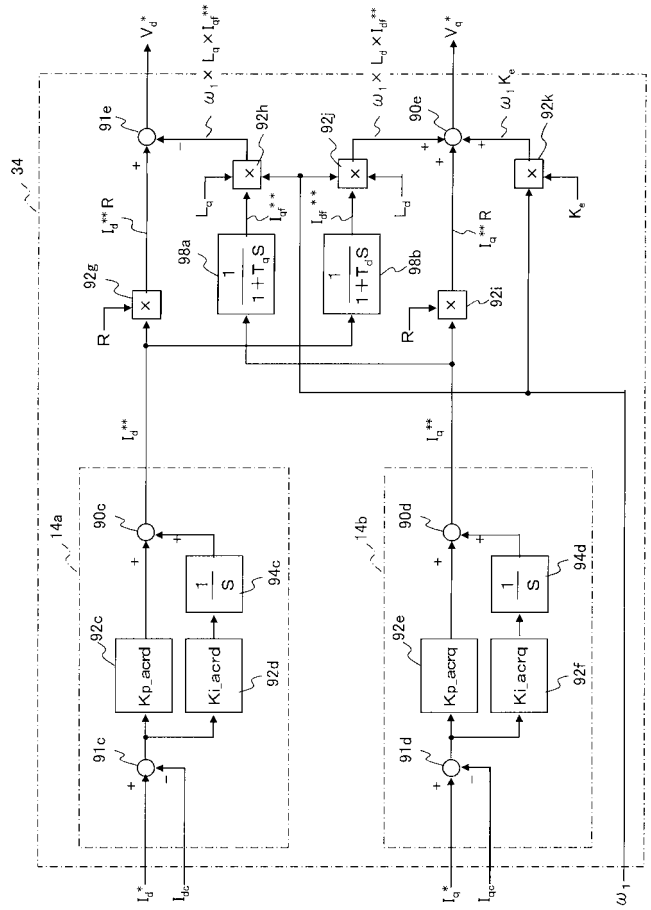
【図 1 3】



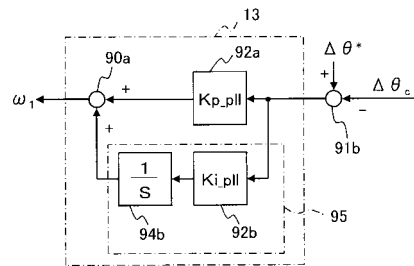
【図 1 4】



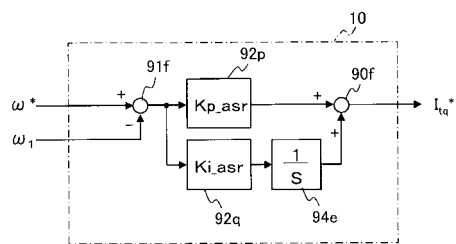
【図 1 2】



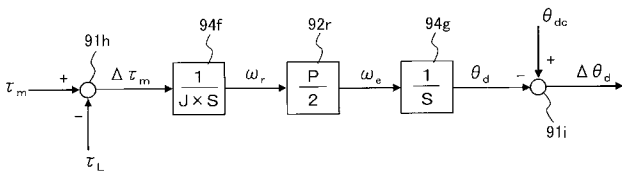
【図 1 5】



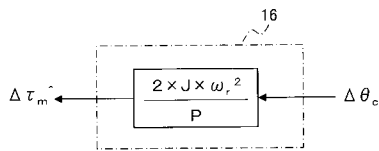
【図 1 6】



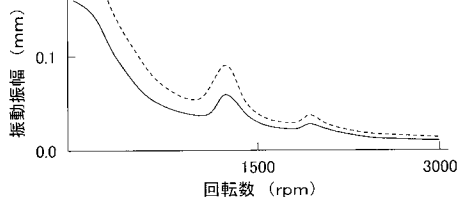
【図17】



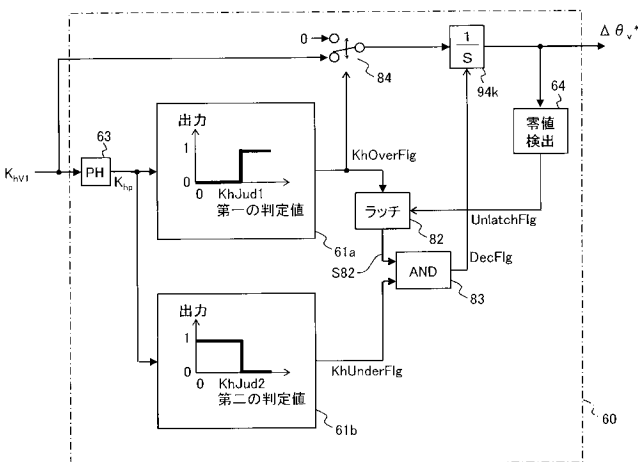
【図18】



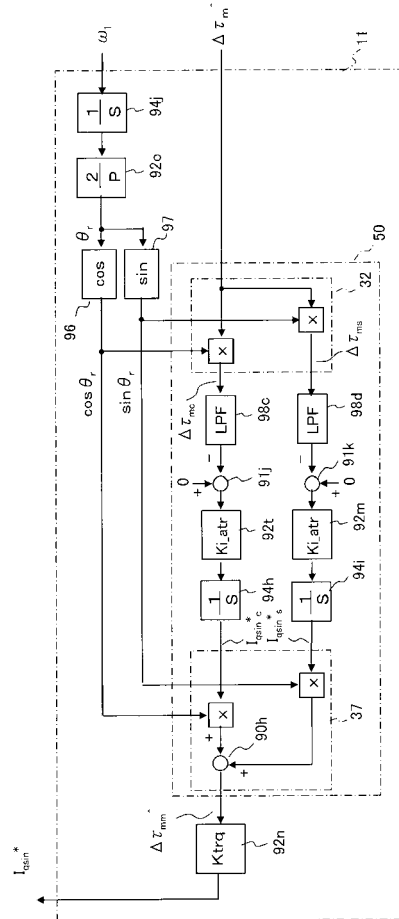
【図20】



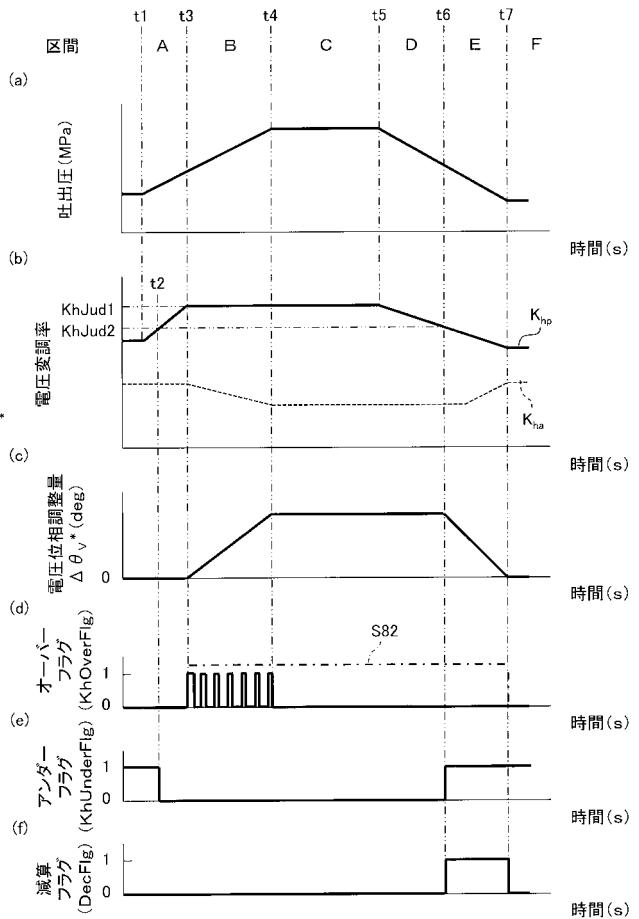
【図21】



【図19】

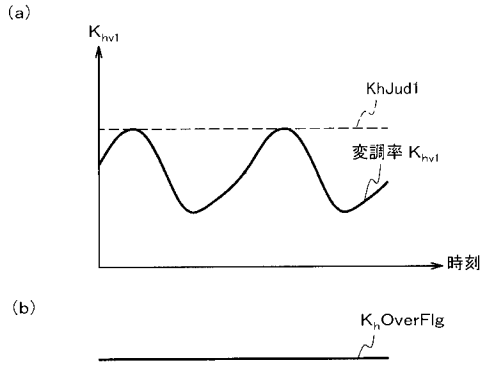


【図22】

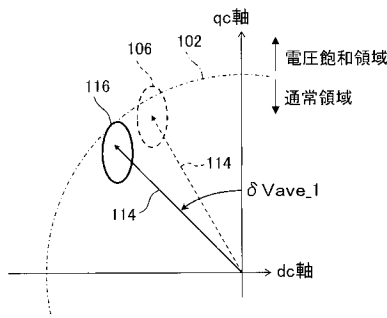




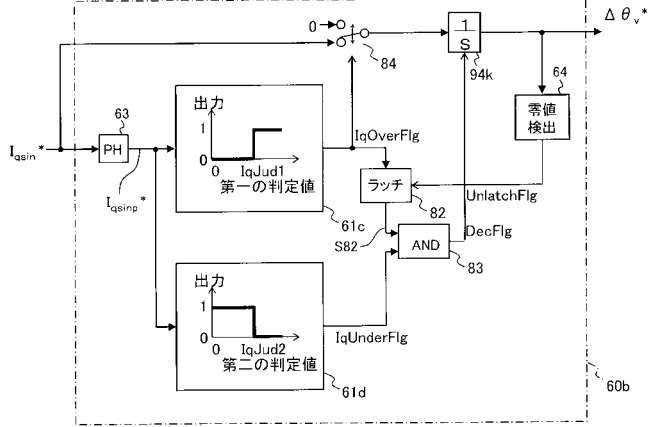
【図23】



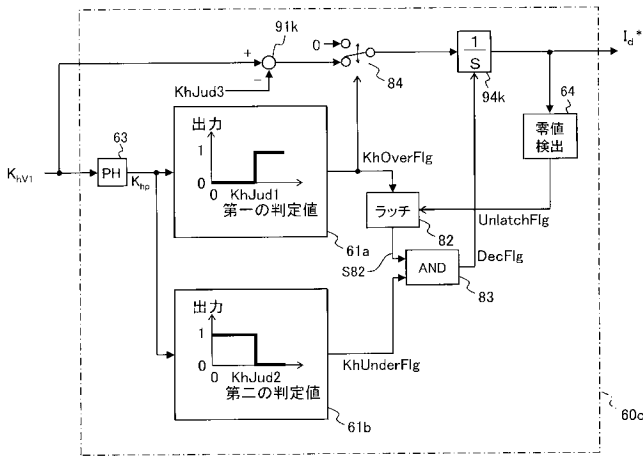
【図24】



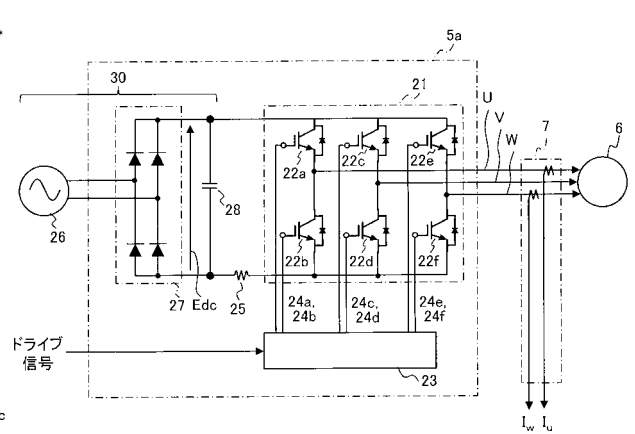
【図25】



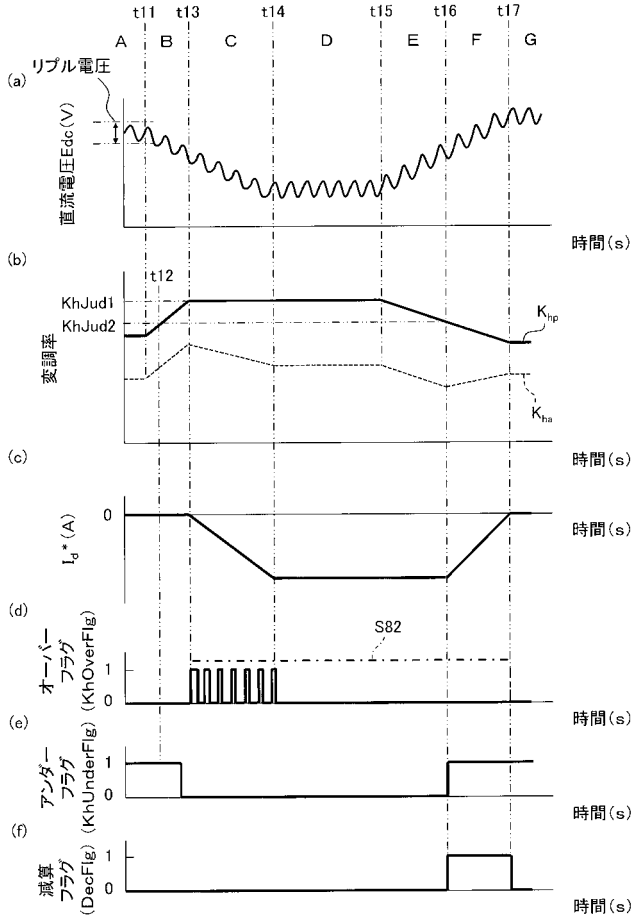
【図26】



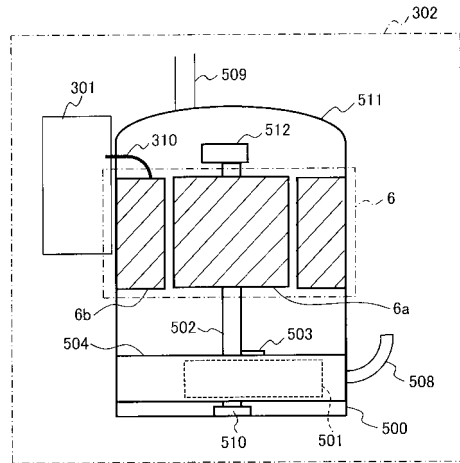
【図27】



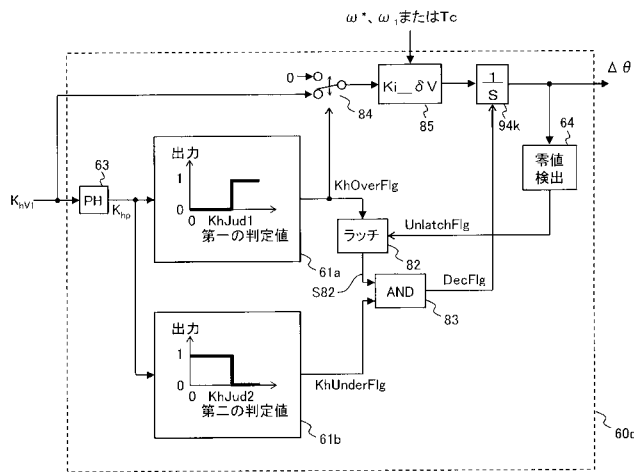
【図28】



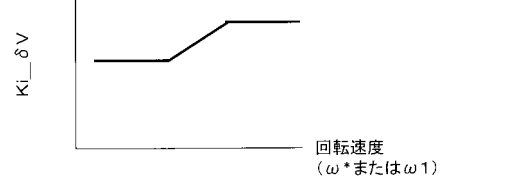
【図29】



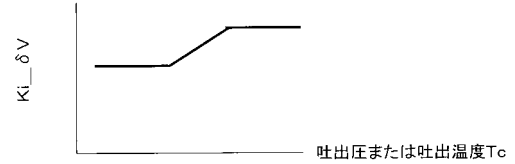
【図30】



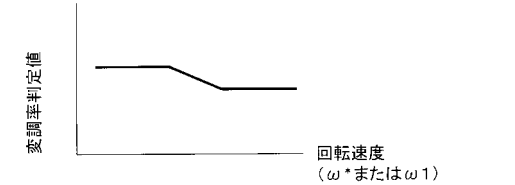
【図31】



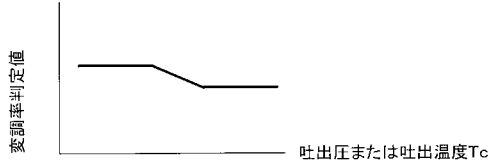
【図32】



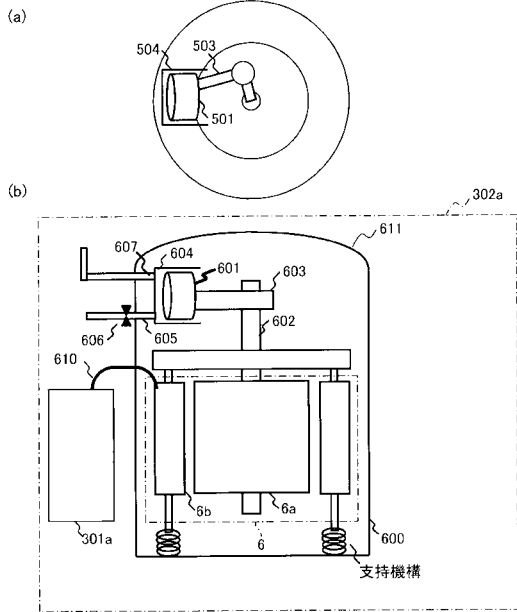
【図33】



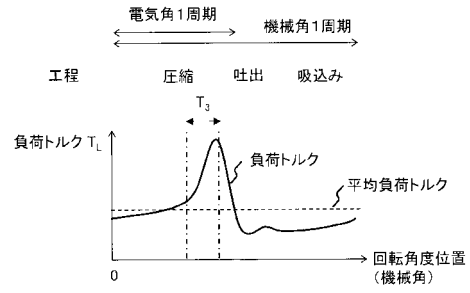
【図34】



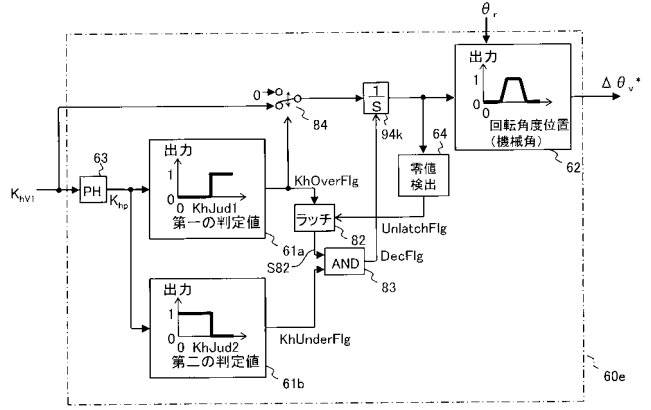
【図35】



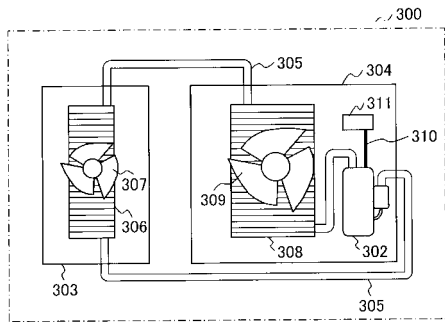
【図36】



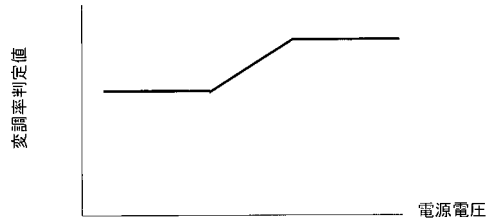
【図37】



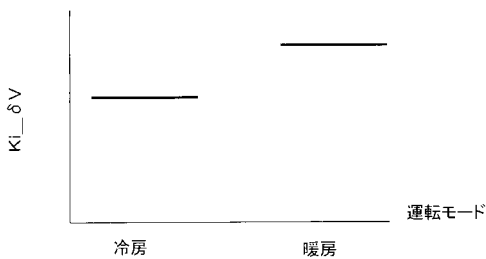
【図38】



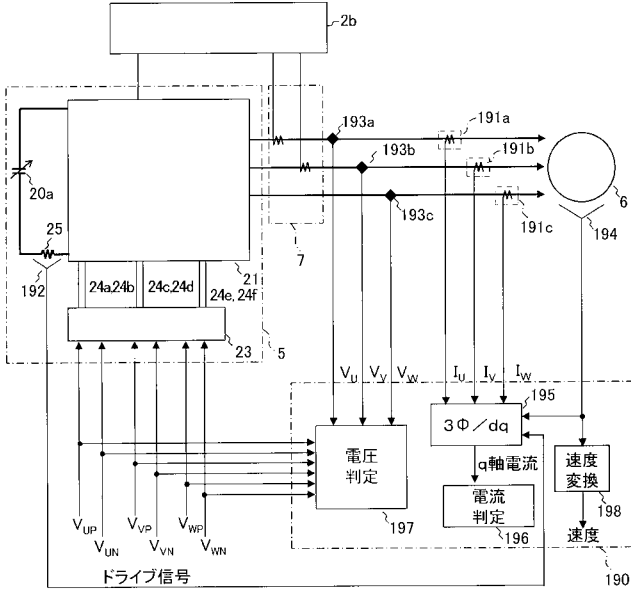
【図40】



【図39】



【図41】



---

フロントページの続き

(72)発明者 能登原 保夫

東京都千代田区丸の内一丁目6番6号 株式会社日立製作所内

Fターム(参考) 5H505 AA06 DD03 DD06 EE30 EE41 HB01 LL12 LL41

5H560 AA02 BB04 BB12 DA12 DB11 EB01 EC01 XA13 XA17